


2020

Weekly / Semanal **Influenza Report EW 14/ Reporte de Influenza SE 14**

Regional Update: Influenza & Other Respiratory Viruses /
Actualización Regional: Influenza y Otros virus respiratorios



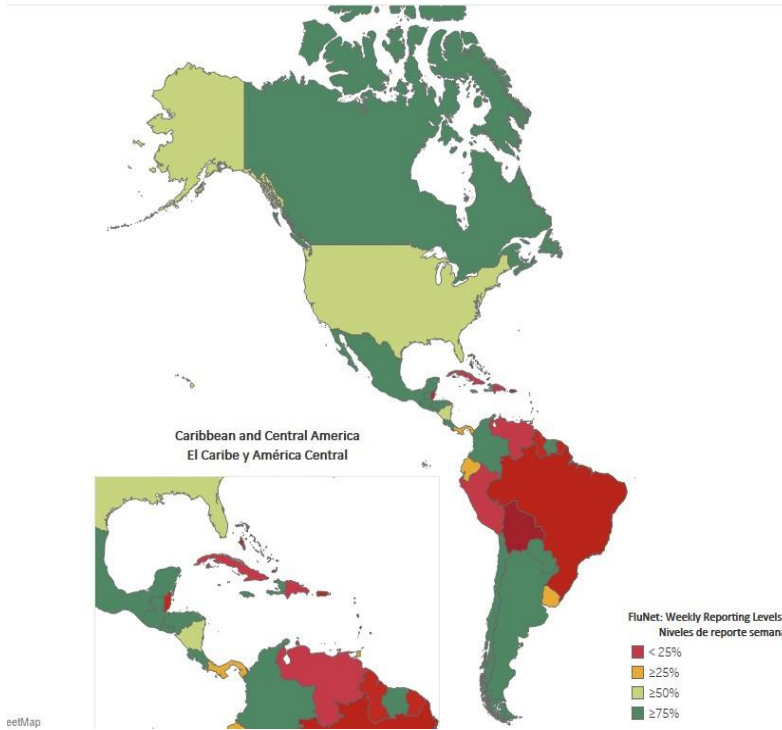
April 16, 2020
16 de abril de 2020

*Data as of April 10, 2020/
Datos hasta el 10 de abril de 2020*

*Prepared by PHE/IHM/Influenza Team/
Realizado por PHE/IHM/Equipo de Influenza*

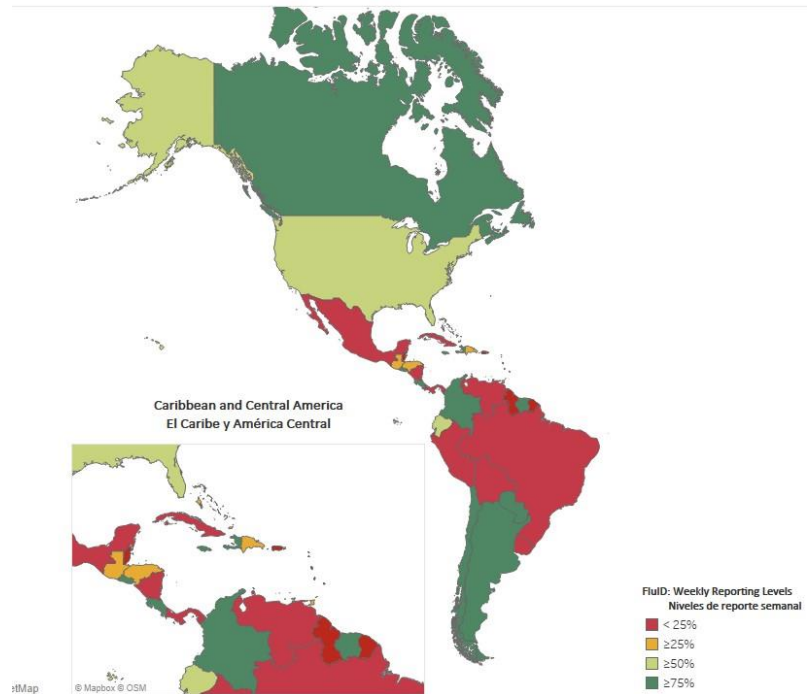
FluNet

Percentage of reports to FluNet during the last four weeks (EW 11-14, 2020)
 Porcentaje de informes a FluNet durante las últimas cuatro semanas (SE 11-14 de 2020)



FluID

Percentage of reports to FluID during the last four weeks (EW 11-14, 2020)
 Porcentaje de informes a FluID durante las últimas cuatro semanas (SE 11-14 de 2020)



Map Production / Producción del mapa: PAHO/WHO, OPS/OMS.

Data Source / Fuente de datos:
 Ministries of Health and National Influenza Centers of Member States
 Reports to the informatics global platforms [FluNet](#) and [FluID](#)
 Informe de los Ministerios de Salud y los Centros Nacionales de
 Influenza de los Estados Miembros a las plataformas informáticas
 globales de [FluNet](#) y [FluID](#)

[Go to Index/](#)
[Ir al Índice](#)

WEEKLY REPORT DATA SOURCES

The information presented in this update is based on data provided by Ministries of Health and National Influenza Centers of Member States to the global informatics platforms http://www.who.int/influenza/gisrs_laboratory/flunet/en/ and http://www.who.int/influenza/surveillance_monitoring/fluid/en/; and reports/weekly bulletins that Ministries of Health published on its website or shared with PAHO/WHO.

La información presentada en esta actualización se obtiene a partir de los datos notificados por los Ministerios de Salud y los Centros Nacionales de Influenza de los Estados Miembros a las plataformas informáticas globales de la OPS/OMS: [FluNet](#) y [FluID](#); y de los informes/boletines semanales que los Ministerios de Salud publican en sus páginas web o comparten con OPS/OMS.

Note: Data from laboratory testing for influenza and other respiratory viruses may be influenced by the current COVID-19 pandemic.

Nota: la pandemia actual de COVID-19 puede influir en los datos de las pruebas de laboratorio para detectar influenza y otros virus respiratorios.

PAHO INFLUENZA LINKS

PAHO interactive data / Datos interactivos de la OPS:

PAHO FluNet: http://ais.paho.org/hip/viz/ed_flu.asp

PAHO FluID: <http://ais.paho.org/hip/viz/flumart2015.asp>

Influenza regional reports / Informes regionales de influenza

In English: <https://www.paho.org/hq/influenzareport>

En español: www.paho.org/reportesinfluenza

Severe acute respiratory infections network - SARInet
Red de las infecciones respiratorias agudas graves - SARInet:

<http://www.sarinet.org>

[Go to Index/
Ir al Índice](#)

REPORT INDEX

ÍNDICE DE LA ACTUALIZACIÓN

Section	Content	Page
1	Weekly Summary / Resumen Semanal	5
2	Influenza Global Update 365/ Actualización de influenza a nivel mundial 365	7
3	Overall Influenza and RSV circulation / Circulación general de los virus influenza y VRS	8
4	Weekly and Cumulative numbers / Números semanales y acumulados	9
5	Epidemiological and Virologic updates by country / Actualización epidemiológica y virológica por país	10
6	Acronyms / Acrónimos	38

WEEKLY SUMMARY (ENGLISH)

North America: In [Canada](#), influenza activity continued to decrease with influenza A(H1N1)pdm09 predominating; severity indicators remained below levels observed in previous seasons. In the [United States](#), ILI activity remained elevated. Influenza detections decreased with influenza A(H1N1)pdm09 most commonly reported; overall, severity indicators remain moderate to low this week however pneumonia mortality increased above expected levels associated with SARS-CoV-2. In [Mexico](#), influenza activity continued low and decreasing with influenza A(H1N1)pdm09 virus predominance; laboratory-confirmed influenza cases and SARI/ILI influenza-related cumulative deaths remained at low levels; SARS-CoV-2 detections continued to increase in recent weeks.

Caribbean: Influenza and other respiratory virus activity remained low in the subregion. In [Haiti](#), SARI activity increased associated to increase detections of SARS-CoV-2. In [Jamaica](#), SARI activity continued above moderate levels in comparison to previous seasons; SARS-CoV-2 detections continued to increase in recent weeks.

Central America: Influenza and other respiratory virus activity remained low in the subregion; influenza A(H1N1)pdm09, A(H3N2), and B viruses co-circulated.. In [Costa Rica](#), ILI and SARI activity continued elevated associated with increased detections of SARS-CoV-2. In El Salvador, SARS-CoV-2 detections continued to increase in recent weeks.

Andean: Influenza and other respiratory virus activity remained low in the sub-region; influenza A(H1N1)pdm09 predominated with influenza B/Victoria virus co-circulating; severity indicators remained below levels observed in previous seasons.. In [Bolivia](#), Colombia and Ecuador, SARS-CoV-2 detections continued to increase in recent weeks.

Brazil and Southern Cone: Influenza and other respiratory virus activity were low in the subregion with influenza A(H1N1)pdm09 and influenza B viruses co-circulating. In [Argentina](#), SARS-CoV-2 detections continued to increase in recent weeks and in [Chile](#), SARI activity continued above expected levels in comparison to previous seasons.

Global: In Europe, influenza activity decreased overall. In Northern Europe, influenza activity decreased across all reporting countries with all seasonal influenza subtypes co-circulated in the sub-region. ILI activity remained elevated in Estonia, Ireland and Norway. In Eastern Europe, ILI and influenza activity decreased across all reporting countries. Increased SARI activity was reported in the Russian Federation and Ukraine. In South West Europe, influenza activity was reported as low with influenza A viruses predominantly detected. Though decreasing, ILI activity remained elevated in Belgium, Germany and Netherlands. In Central Asia, low influenza A(H3N2) virus detections were reported in Kazakhstan. In Northern Africa, there were no influenza updates for this reporting period. In Western Asia, influenza activity was low across reporting countries. ILI and SARI levels decreased in Armenia and Azerbaijan but remained elevated in Georgia though with low detections of influenza viruses. In East Asia, influenza illness indicators and influenza activity remained at inter-seasonal levels across all countries.

RESUMEN SEMANAL (ESPAÑOL)

América del Norte: en [Canadá](#), la actividad de la influenza continuó disminuyendo con la predominancia de influenza A(H1N1)pdm09; los indicadores de gravedad se mantuvieron por debajo de los niveles observados en temporadas anteriores. En los [Estados Unidos](#), la actividad de la ETI se mantuvo elevada. Las detecciones de influenza disminuyeron con influenza A(H1N1)pdm09 más comúnmente reportado; en general, los indicadores de gravedad siguen siendo moderados a bajos esta semana; sin embargo, la mortalidad por neumonía aumentó por encima de los niveles esperados y asociada a SARS-CoV-2. En [México](#), la actividad de la influenza continuó baja y disminuyó con el predominio del virus influenza A(H1N1)pdm09; los casos de influenza confirmados por laboratorio y las muertes por IRAG / ETI acumuladas relacionadas con influenza se mantuvieron en niveles bajos; las detecciones de SARS-CoV-2 continuaron aumentando en las últimas semanas.

Caribe: la actividad de la influenza y otros virus respiratorios se mantuvo baja en la subregión. En [Haití](#), la actividad de IRAG se encuentra elevada asociada a incremento en las detecciones de SARS-CoV-2. En [Jamaica](#), la actividad de la IRAG continuó por encima de los niveles moderados en comparación con temporadas anteriores y las detecciones de SARS-CoV-2 continuaron aumentando en las últimas semanas.

América Central: la actividad de la influenza y otros virus respiratorios se mantuvo baja en la subregión; los virus influenza A(H1N1)pdm09, A(H3N2) y B circulan conjuntamente. En [Costa Rica](#) continuó elevada la actividad de ETI e IRAG, asociada con aumento en las detecciones de SARS-CoV-2. En El Salvador, las detecciones de SARS-CoV-2 continuaron aumentando en las últimas semanas.

Andina: la actividad de la influenza y otros virus respiratorios se mantuvo baja en la subregión; la influenza A(H1N1)pdm09 predominó con la circulación concurrente del virus influenza B/Victoria; los indicadores de gravedad se mantuvieron por debajo de los niveles observados en temporadas anteriores. En [Bolivia](#), Colombia y Ecuador, las detecciones del SARS-CoV-2 continuaron aumentando en las últimas semanas.

Brasil y Cono Sur: la actividad de la influenza y otros virus respiratorios fue baja en la subregión con la circulación concurrente de influenza A(H1N1)pdm09 e influenza B. En [Argentina](#), las detecciones del SARS-CoV-2 continuaron aumentando en las últimas semanas y en [Chile](#), la actividad de IRAG continúa por encima de los niveles moderados en comparación con temporadas anteriores.

Global: en Europa, la actividad de la influenza disminuyó en general. En el norte de Europa, la actividad de la influenza disminuyó en todos los países informantes con todos los subtipos de influenza estacional circulados en la subregión. La actividad de la ETI se mantuvo elevada en Estonia, Irlanda y Noruega. En Europa del Este, la actividad de la ETI y la influenza disminuyó en todos los países informantes. Se informó una mayor actividad de IRAG en la Federación de Rusia y Ucrania. En el suroeste de Europa, se informó que la actividad de la influenza fue baja con la detección de los virus influenza A predominantemente. Aunque disminuyó, la actividad de la ETI se mantuvo elevada en Bélgica, Alemania y Países Bajos. En Asia Central, se registraron pocas detecciones de los virus influenza A(H3N2) en Kazajstán. Para este periodo del informe, no hubo actualizaciones de la actividad de influenza del norte de África. En Asia occidental, la actividad de la influenza fue baja en todos los países informantes. Los niveles de ETI y de IRAG disminuyeron en Armenia y Azerbaiyán, pero se mantuvieron elevados en Georgia, aunque con bajas detecciones de virus de influenza. En el este de Asia, los indicadores de ETI y la actividad de la influenza se mantuvieron en niveles interestacionales en todos los países.

Influenza Global Update 365 / Actualización de influenza a nivel mundial 365
14 April 2020 / 14 de abril de 2020
Based on data up to March 29, 2020 / basado en datos hasta el 29 de marzo de 2020

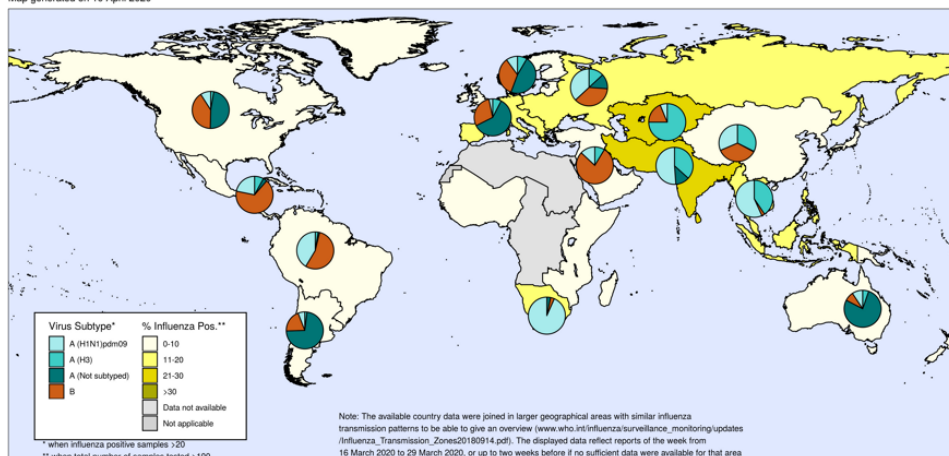
Global Level /
Nivel Mundial

In Europe, influenza activity decreased overall. In Northern Europe, influenza activity decreased across all reporting countries with all seasonal influenza subtypes co-circulated in the sub-region. ILI activity remained elevated in Estonia, Ireland and Norway. In Eastern Europe, ILI and influenza activity decreased across all reporting countries. Increased SARI activity was reported in the Russian Federation and Ukraine. In South West Europe, influenza activity was reported as low with influenza A viruses predominantly detected. Though decreasing, ILI activity remained elevated in Belgium, Germany and Netherlands. In Central Asia, low influenza A(H3N2) virus detections were reported in Kazakhstan. In Northern Africa, there were no influenza updates for this reporting period. In Western Asia, influenza activity was low across reporting countries. ILI and SARI levels decreased in Armenia and Azerbaijan but remained elevated in Georgia though with low detections of influenza viruses. In East Asia, influenza illness indicators and influenza activity remained at inter-seasonal levels across all countries. / En Europa, la actividad de la influenza disminuyó en general. En el norte de Europa, la actividad de la influenza disminuyó en todos los países informantes con todos los subtipos de influenza estacional circulados en la subregión. La actividad de la ETI se mantuvo elevada en Estonia, Irlanda y Noruega. En Europa del Este, la actividad de la ETI y la influenza disminuyó en todos los países informantes. Se informó una mayor actividad de IRAG en la Federación de Rusia y Ucrania. En el suroeste de Europa, se informó que la actividad de la influenza fue baja con la detección de los virus influenza A predominantemente. Aunque disminuyó, la actividad de la ETI se mantuvo elevada en Bélgica, Alemania y Países Bajos. En Asia Central, se registraron pocas detecciones de los virus influenza A(H3N2) en Kazajstán. Para este periodo del informe, no hubo actualizaciones de la actividad de influenza del norte de África. En Asia occidental, la actividad de la influenza fue baja en todos los países informantes. Los niveles de ETI y de IRAG disminuyeron en Armenia y Azerbaiyán, pero se mantuvieron elevados en Georgia, aunque con bajas detecciones de virus de influenza. En el este de Asia, los indicadores de ETI y la actividad de la influenza se mantuvieron en niveles interestacionales en todos los países.

National Influenza Centres (NICs) and other national influenza laboratories from 81 countries, areas or territories reported data to FluNet for the time period from 16 March 2020 to 29 March 2020. The WHO GISRS laboratories tested more than 178077 specimens during that time period. A total of, 7737 were positive for influenza viruses, of which 4900 (63.3%) were typed as influenza A and 2837 (36.7%) as influenza B. Of the sub-typed influenza A viruses, 1531 (68.1%) were influenza A(H1N1)pdm09 and 716 (31.9%) were influenza A(H3N2). Of the characterized B viruses, 8 (3.3%) belonged to the B-Yamagata lineage and 236 (96.7%) to the B-Victoria lineage. / Los Centros Nacionales de Influenza (NIC) y otros laboratorios nacionales de influenza de 81 países, áreas o territorios reportaron sus datos a FluNet para el período comprendido entre el 16 y el 29 de marzo de 2020. Los laboratorios GISRS de la OMS analizaron más de 178.077 muestras durante ese período. Un total de 7.737 fueron positivas para los virus influenza, de las cuales 4.900 (63,3%) se tipificaron como influenza A y 2.837 (36,7%) como influenza B. De los virus influenza A, a los cuales se les identificó el subtipo, 1.531 (68,1%) fueron influenza A(H1N1)pdm09 y 716 (31,9%) fueron influenza A(H3N2). De los virus B caracterizados, 8 (3,3%) pertenecían al linaje B-Yamagata y 236 (96,7%) al linaje B-Victoria.

**Percentage of respiratory specimens that tested positive for influenza
By influenza transmission zone**

Map generated on 10 April 2020

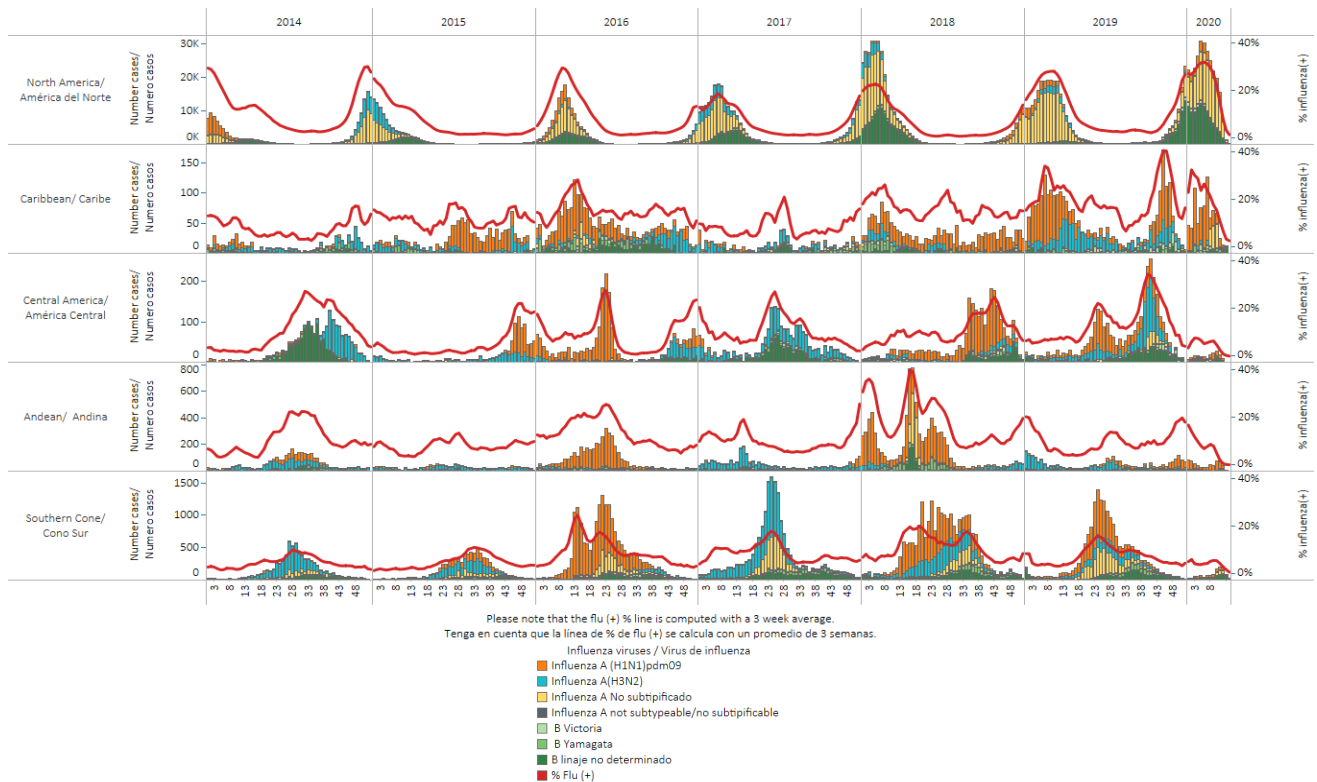


The boundaries and names shown and the designations used on this map do not imply the expression of any opinion whatsoever on the part of the World Health Organization concerning the legal status of any country, territory, city or area or of its authorities, or concerning the delimitation of its frontiers or boundaries. Dotted and dashed lines on maps represent approximate border lines for which there may not yet be full agreement.
 Data source: Global Influenza Surveillance and Response System (GISRS), FluNet (www.who.int/flu-net)
 Copyright WHO 2020. All rights reserved.



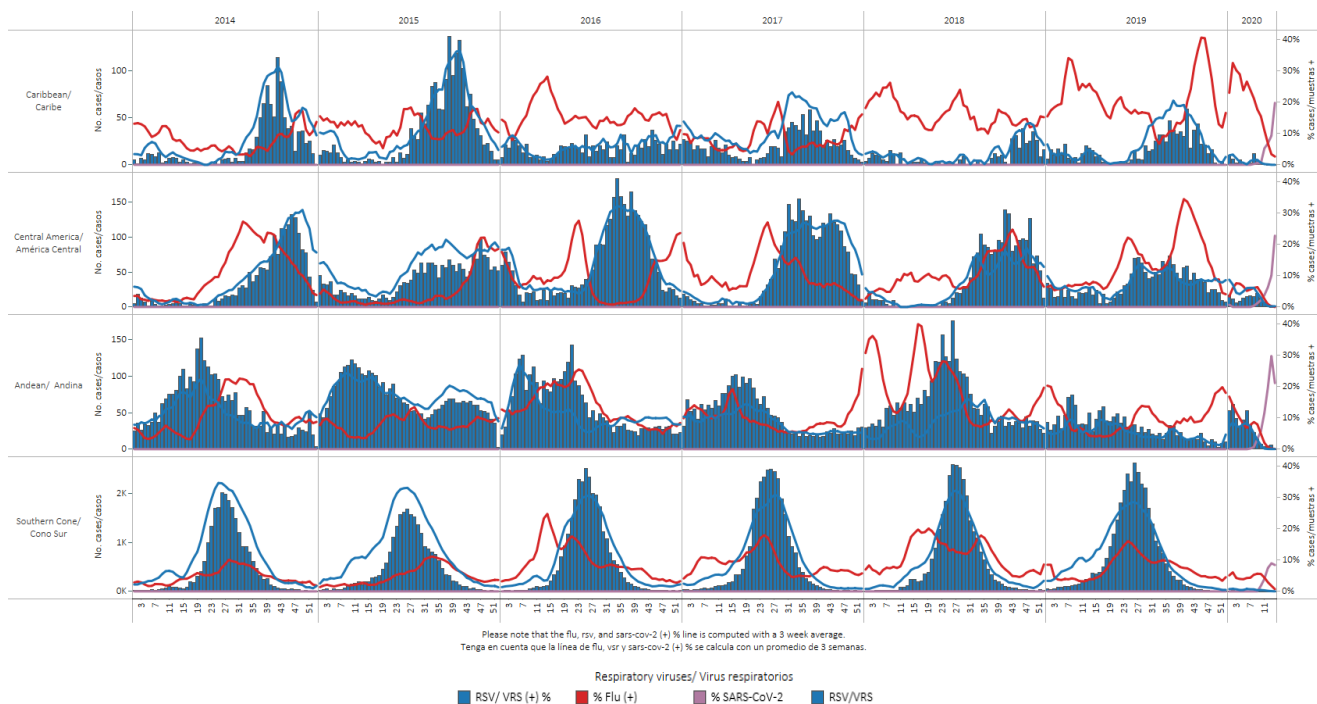
Influenza circulation by subregion, 2014-20

Circulación de virus influenza por subregión, 2014-20



Respiratory syncytial virus (RSV) circulation by Subregion, 2014-20

Circulación de virus respiratorio sincitial (VRS) por subregión, 2014-20



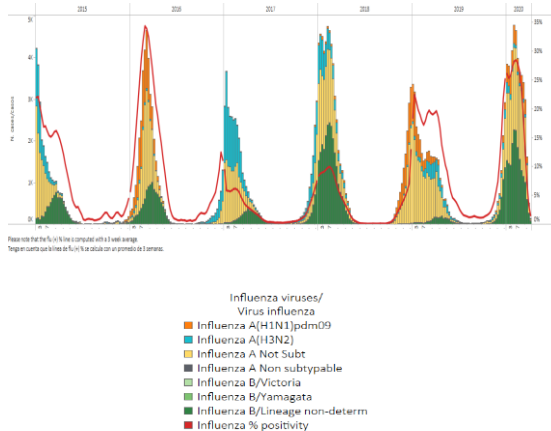
*To view more lab data, view [here](#). / Para ver más datos de laboratorio, vea [aquí](#).

North America / América del Norte

Canada / Canadá

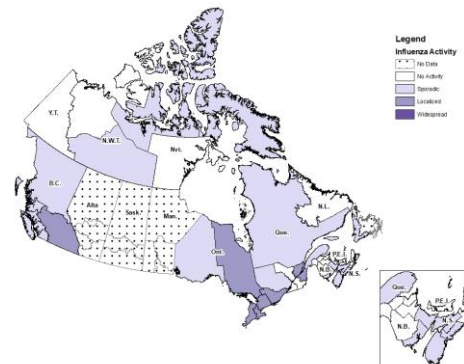
- In Canada, influenza activity decreased to interseasonal levels, with co-circulation of influenza A (unsubtyped) and influenza B viruses (Graph 1). Among subtyped influenza A viruses, A(H1N1)pdm09 was the predominant subtype this season. Among the 24 regions reporting influenza activity during EW14, 70% reported sporadic activity and 30% reported localized activity (Graph 2). The percentage of visits to healthcare professionals due to ILI (1.0%) increased slightly in comparison to the previous week but remained below the average for this time of year (1.7%) (Graph 3). In EW 14, one pediatric laboratory-confirmed influenza-associated hospitalization was reported by the Immunization Monitoring Program Active (IMPACT) network; the weekly number of cases was below the average for this period over the previous five seasons (Graph 4). Among adults (>16 years) with laboratory-confirmed influenza, 790 hospitalizations, 88 intensive care unit admissions, and 42 deaths were reported. As of April 15, among 467,736 persons tested for SARS-CoV-2, 27,929 (6.0%) were positive; the three provinces reporting the highest number of COVID-19 cases were Quebec (14,860), Ontario (8,447) and Alberta with (1,996) (Graph 5). Among the COVID-19 cases reported, the age groups with the highest percentage of cases were 50-59 (18%), 40-48 (16%), and 30-39 and 60-69 with 14% each (Graph 6). / En Canadá, la actividad de la influenza disminuyó a niveles interestacionales, con la circulación concurrente de los virus influenza A (sin subtipo) e influenza B (Gráfico 1). Entre los virus de influenza A, a los cuales se les determinó el subtipo, el subtipo predominante esta temporada fue A (H1N1) pdm09. Entre las 24 regiones que informaron actividad de influenza durante la SE14, el 70% informó actividad esporádica y el 30% informó actividad localizada (Gráfico 2). El porcentaje de visitas a profesionales de la salud debido a una ETI (1.0%) aumentó ligeramente en comparación con la semana anterior, pero se mantuvo por debajo del promedio para esta época del año (1.7%) (Gráfico 3). En la SE 14, la red activa del Programa de Monitoreo de Inmunizaciones (IMPACT) informó una hospitalización pediátrica asociada a la influenza confirmada por laboratorio; el número semanal de casos estuvo por debajo del promedio para este período durante las cinco temporadas anteriores (Gráfico 4). Entre los adultos (> 16 años) con influenza confirmada por laboratorio, se informaron 790 hospitalizaciones, 88 ingresos a la unidad de cuidados intensivos y 42 muertes. Hasta el 15 de abril, de 467.736 personas sometidas a prueba de SARS-CoV-2, 27.929 (6%) fueron positivas; las tres provincias con un mayor número de casos de COVID-19 fueron Quebec (14.860), Ontario (8.447) y Alberta con (1.996) (Gráfico 5). Entre los casos de COVID-19 informados, los grupos de edad con el mayor porcentaje de casos fueron 50-59 (18%), 40-48 (16%) y 30-39 y 60-69 con 14% cada uno (Gráfico 6).

Graph 1. Canada: Influenza virus distribution, EW 14, 2015 –20
Distribución de virus de influenza, SE 14, 2015 –20

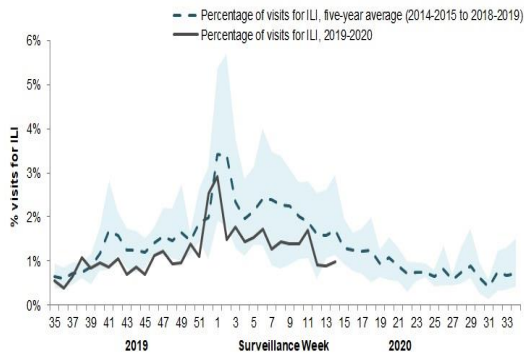


Graph 2. Canada: Influenza activity by provincial and territorial influenza surveillance regions, EW 14, 2020

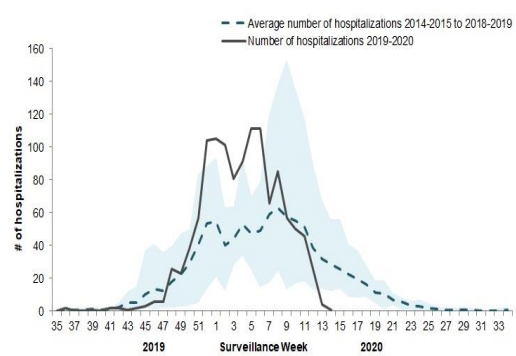
Actividad de influenza por regiones de vigilancia de influenza provinciales y territoriales, SE 14 de 2020



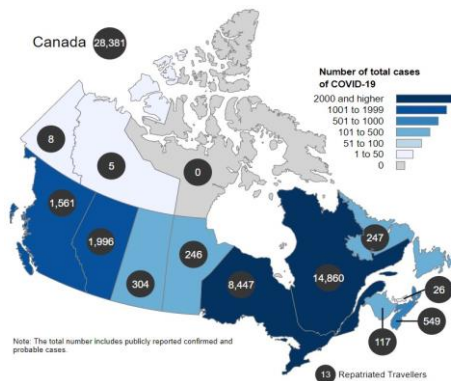
Graph 3. Canada: Percentage of ILI visits by sentinel sites, EW 35, 2019 to EW 14, 2020
 Porcentaje de casos de ETI por sitio centinela, SE 35 de 2019 a SE 14 de 2020



Graph 4. Canada: Number of pediatric hospitalizations (≤ 16 years old), EW 35, 2019 to EW 14, 2020
 Número de hospitalizaciones pediátricas (≤ 16 años), SE 35 de 2019 a SE 14 de 2020



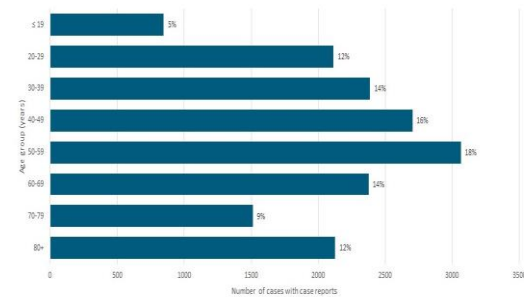
Graph 5. Canada: Number of COVID-19 total cases in Canada on April 15th, 2020
 Número total de casos de COVID-19 en Canadá, al 15 de abril de 2020



Source: Coronavirus disease (COVID-19): Outbreak update. <https://www.canada.ca/en/public-health>

Graph 5. Canada: Age distribution of COVID-19 cases, as of April 15, 2020
 Distribucion de los casos de COVID-19 por edad, al 15 de abril de 2020

Figure 2. Age distribution of COVID-19 cases (n=17,125) in Canada as of April 15, 2020, 11 am EDT

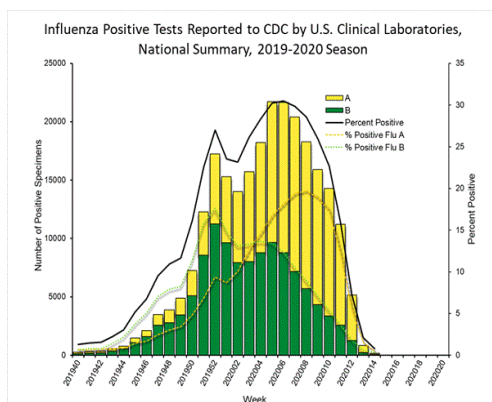


Source: Epidemiological summary of COVID-19 cases in Canada. <https://www.canada.ca/en/public-health>

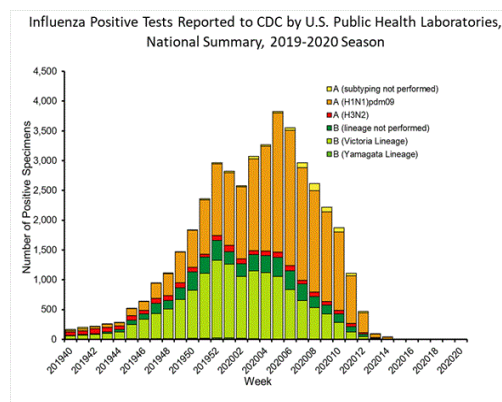
*To view more epi data, view [here](#). / Para ver más datos epi, vea [aquí](#).

- During EW 14, 2020, influenza detections decreased with influenza A(H1N1)pdm09 viruses and A(H3N2) viruses co-circulating (Graph 1). Influenza activity was low (Graph 2) with twenty-one jurisdictions reporting high ILI activity: District of Columbia, New York City, and 19 states (Colorado, Connecticut, Georgia, Idaho, Illinois, Kansas, Louisiana, Maryland, Massachusetts, New Jersey, New York, Oklahoma, Oregon, Pennsylvania, South Carolina, Tennessee, Vermont, Virginia, and Wisconsin). The remaining jurisdictions experienced moderate to minimal activity (Graph 3). Influenza-like illness decreased in comparison to the previous week and continued above the national baseline (2.4%) at a level of 3.9% of patient visits (Graph 4). Adults aged ≥ 65 years had the highest rate of laboratory-confirmed influenza hospitalizations (179.7 per 100,000 pop) followed by children aged 0-4 years (94.1 per 100,000 pop) (Graph 5). During EW 14, 10.0% of reported deaths were due to pneumonia and influenza, this is above the epidemic threshold of 7.1% for EW 14 (Graph 6). From March 1, 2020 through April 5, 2020, a total of 4,001 COVID-19-confirmed cases were reported to the COVID-19-Associated Hospitalization Surveillance Network (COVID-NET). The highest cumulative hospitalization rates (CHR) were among those aged 65 years and older (38.7 per 100,000 pop.), followed by adults aged 50-64 years (20.7 per 100,000 pop.). The overall CHR was 12.3 per 100,000 population (Graph 7). Since the start of the COVID-19 outbreak, the percentage of deaths has increased weekly. According to the death certificate data available from the National Center for Health Statistics, 6.9% of all deaths occurring during EW 14 had COVID-19 listed as a cause of death (Graph 8). / En la SE 14 de 2020, las detecciones de influenza disminuyeron con la circulación concurrente de los virus influenza A(H1N1)pdm09 y A(H3N2) (Gráfico 1). La actividad de la influenza fue baja (Gráfico 2) con veintiuna jurisdicciones que informaron una alta actividad de ETI: Distrito de Columbia, Nueva York y 19 estados (Colorado, Connecticut, Georgia, Idaho, Illinois, Kansas, Luisiana, Maryland, Massachusetts, Nueva Jersey, Nueva York, Oklahoma, Oregón, Pensilvania, Carolina del Sur, Tennessee, Vermont, Virginia y Wisconsin). Las jurisdicciones restantes experimentaron actividad moderada a mínima (Gráfico 3). La enfermedad similar a la influenza disminuyó en comparación con la semana anterior y continuó por encima de la línea de base nacional (2,4%) a un nivel de 3,9% de las visitas de pacientes (Gráfico 4). Los adultos de ≥ 65 años tuvieron la tasa más alta de hospitalizaciones por influenza confirmadas por laboratorio (179,7 por 100.000 habitantes) seguidos por los niños de 0 a 4 años (94,1 por 100.000 habitantes) (Gráfico 5). Durante la SE 14, el 10,0% de las muertes reportadas se debieron a neumonía e influenza; esto está por encima del umbral epidémico del 7,1% para la SE 13 (Gráfico 6). Del 1 de marzo al 5 de abril de 2020, un total de 4.001 casos confirmados por COVID-19 fueron reportados a la Red de Vigilancia de Hospitalización Asociada a COVID-19 (COVID-NET). Las tasas más altas de hospitalización acumulada (CHR) se registraron entre los mayores de 65 años (38,7 por 100.000 hab.), seguidos por los adultos de 50-64 años (20,7 por 100.000 hab.). El CHR general fue de 12,3 por 100.000 habitantes (Gráfico 7). Desde el comienzo del brote de COVID-19, el porcentaje de muertes aumentó semanalmente. Según los datos disponibles del certificado de defunción del Centro Nacional de Estadísticas de Salud, el 6,9% de todas las defunciones ocurridas durante la SE 14 tenían COVID-19 como causa de muerte (Gráfico 8).

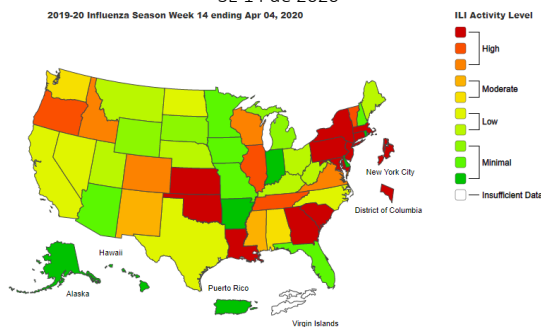
Graph 1. USA: Percent positivity for influenza, EW 14, 2020
2019-2020 season
Porcentaje de positividad de influenza, SE 14 de 2020
Temporada 2019-2020



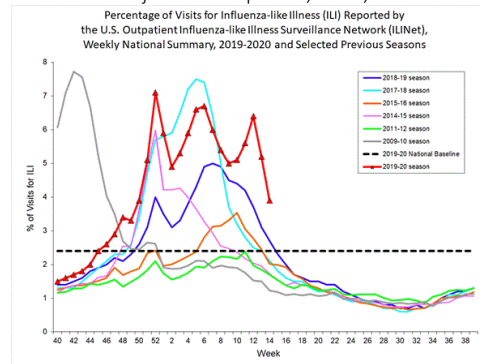
Graph 2. USA: Influenza virus distribution, EW 14, 2020
2019-2020 season
Distribución de virus de influenza, SE 14 de 2020
Temporada 2019-2020



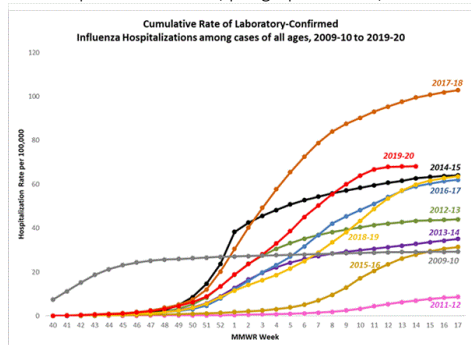
Graph 3. USA: ILI activity level indicator determined by state, EW 14, 2020
Indicador de nivel de actividad de ETI por estado, SE 14 de 2020



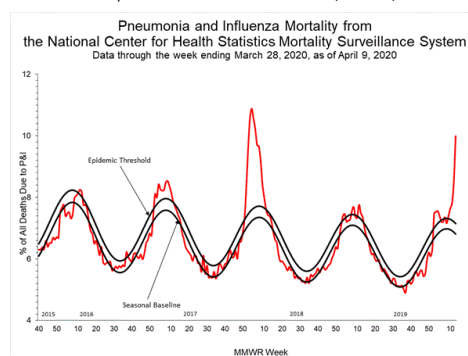
Graph 4. USA: Percentage of visits for ILI, EW 14, 2009-20
Porcentaje de visitas por ETI, SE 14, 2009-20



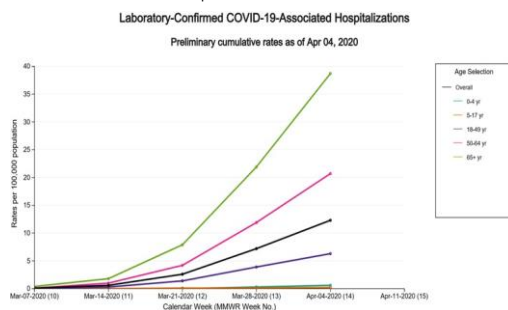
Graph 5. USA: Laboratory-confirmed influenza hospitalizations rates (per 100,000 population) by age group, EW 14, 2020
Tasas de hospitalizaciones (por 100.000 habitantes) por influenza confirmada por el laboratorio, por grupo de edad, SE 14 de 2020



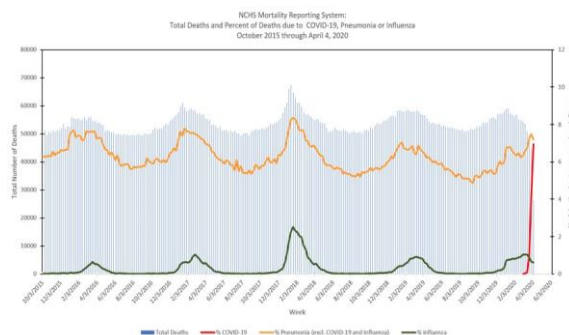
Graph 6. USA: Pneumonia and influenza mortality, EW 14, 2015-20
Mortalidad por neumonía e influenza, SE 14, 2015-20



Graph 7. USA: Laboratory-confirmed COVID-19-Associated Hospitalizations (per 100,000 population) Preliminary cumulative rates as of April 4, 2020
Hospitalizaciones asociadas a COVID-19 confirmadas por laboratorio (por 100.000 habitantes) Tasas acumuladas preliminares al 4 de abril de 2020



Graph 8. USA: Total deaths and percent of deaths due to COVID-19, pneumonia or influenza, October 2015 through April 4, 2020
Total de muertes y porcentaje de muertes por COVID-19, neumonía o influenza, octubre de 2015 hasta el 4 de abril de 2020



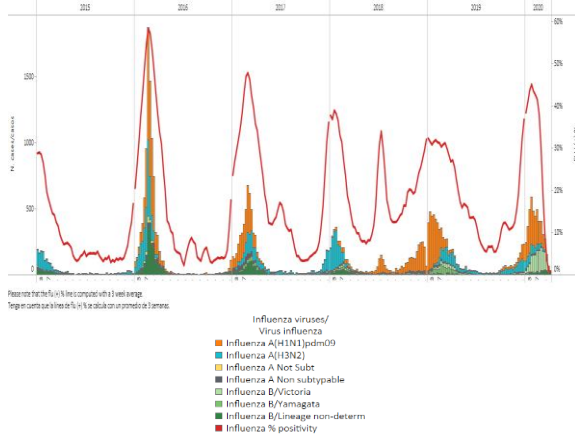
Content source: National Center for Immunization and Respiratory Diseases (NCIRD), Division of Viral Diseases.

Source: COVIDView. <https://www.cdc.gov/coronavirus/2019-nCoV>

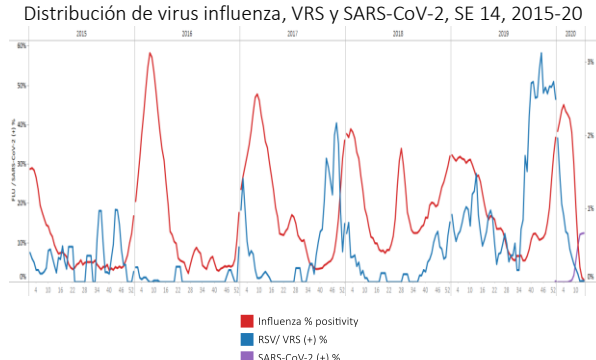
*To view more epi data, view [here](#). / Para ver más datos epi, vea [aquí](#).

- During EW 14, 2020, influenza decreased with co-circulation of influenza A(H1N1)pdm09, B, and A(H3N2) viruses (Graph 1). Influenza percent positivity was low and at interseasonal levels (Graph 2). Few RSV detections were reported; SARS-CoV-2 percent positive slightly increased as compared to the previous week (Graph 2), metapneumovirus, adenovirus, and parainfluenza co-circulated. As of EW 14, 6,073 influenza-associated SARI/ILI cumulative cases were reported with 330 SARI/ILI influenza-related cumulative deaths. The states with the highest number of influenza-confirmed cases during the 2019-20 season were: Mexico City, San Luis Potosi, Coahuila, Mexico State, and Jalisco, while the jurisdictions with the highest SARI/ILI influenza-related cumulative deaths were Jalisco, Sonora, Mexico City, Hidalgo, and Guanajuato (Graphs 4 and 5). During EW 14, 16.6% (870/5,245) samples tested positive for SARS-CoV-2; the three states with the highest percentage positive for SARS-CoV-2 were Mexico City, Mexico State, and Baja California (Graph 6). / En la SE 14 de 2020, la influenza disminuyó con la circulación concurrente de los virus influenza A(H1N1)pdm09, B y A(H3N2) (Gráfico 1). El porcentaje de positividad de la influenza estuvo bajo y en niveles interestacionales (Gráfico 2). Se informaron pocas detecciones de VRS; el porcentaje de positividad para SARS-CoV-2 aumentó levemente en comparación con la semana anterior (Gráfico 2), con la circulación concurrente de metapneumovirus, adenovirus y parainfluenza. A partir de la SE 14, se informaron 6.073 casos acumulados de IRAG / ETI asociados a la influenza con 330 muertes acumuladas por IRAG / ETI relacionadas con la influenza. Los estados con el mayor número de casos confirmados de influenza durante la temporada 2019-20 fueron: Ciudad de México, San Luis Potosí, Coahuila, Estado de México y Jalisco, mientras que las jurisdicciones con el mayor número acumulado de muertes por IRAG / ETI relacionadas con la influenza fueron Jalisco, Sonora, Ciudad de México, Hidalgo y Guanajuato (Gráficos 4 y 5). Durante la SE 14, el 16,6% (870 / 5.245) muestras dieron positivo para SARS-CoV-2; los tres estados con el mayor porcentaje positivo de SARS-CoV-2 fueron Ciudad de México, Estado de México y Baja California (Gráfico 6).

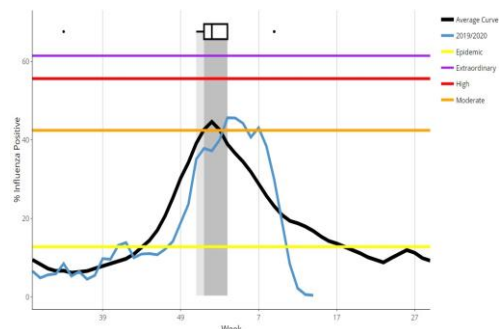
Graph 1. Mexico: Influenza virus distribution, EW 14, 2015-20
Distribución de virus influenza, SE 14, 2015-20



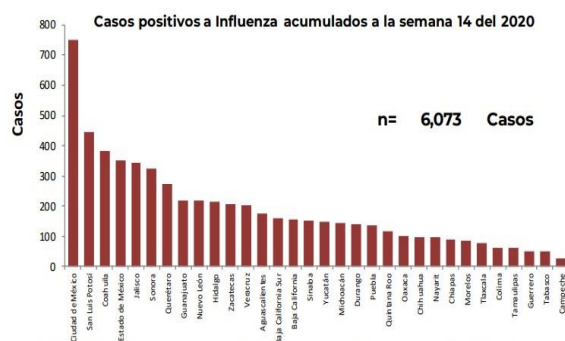
Graph 2. Mexico: Influenza, RSV, and SARS-CoV-2 distribution
Distribución de virus influenza, VRS y SARS-CoV-2, SE 14, 2015-20



Graph 3. Mexico: Percent positivity for influenza, EW 14, 2020
(compared to 2010-19)
Porcentaje de positividad de influenza, SE 14 de 2020
(comparado con 2010-19)

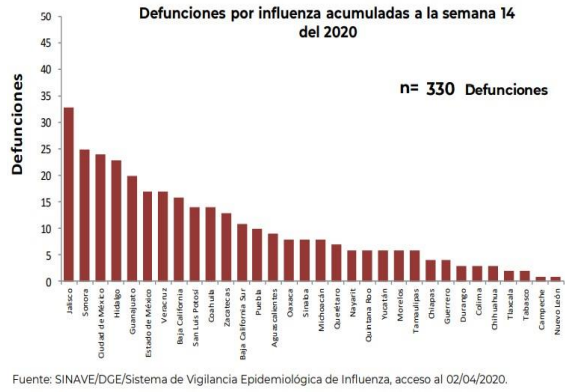


Graph 4. Mexico: SARI/ILI-influenza positive, EW 14, 2020
Casos de IRAG/ETI positivos a influenza, SE 14 de 2020



Fuente: SINAVE/DGE/Sistema de Vigilancia Epidemiológica de Influenza, acceso al 02/04/2020.

Graph 5. Mexico: SARI/ILI-influenza deaths, EW 14, 2020
Casos fallecidos por IRAG/ETI asociados a Influenza, SE 14 de 2020



Graph 6. Mexico: Cumulative number of laboratory-confirmed SARS-CoV-2 cases by state, EWs 7-14, 2020
Número acumulado de casos de SARS-CoV-2 confirmados por laboratorio por estado, SE 7-14 de 2020

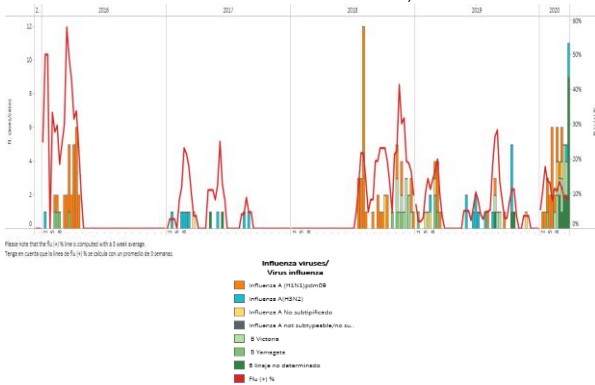


*To view more epi data, view [here](#). / Para ver más datos epi, vea [aquí](#).

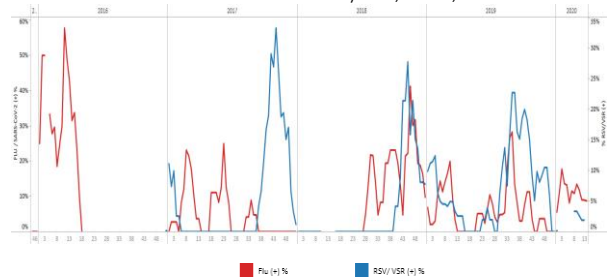
Belize/ Belice

- During EW 13, influenza activity remained elevated, with predominance of influenza B viruses and co-circulation of influenza A(H3N2) (Graph 1). No respiratory syncytial viruses were detected during this week; rhinovirus, parainfluenza, and coronavirus were identified (Graph 2). After an increase to moderate levels during EWs 3-4, influenza positivity decreased to low levels of activity when compared to previous weeks and remained above the average epidemic curve (Graph 3). / En la SE 13, la actividad de la influenza se mantuvo elevada, con predominio de los virus influenza B y la circulación concurrente de los virus influenza A(H3N2) (Gráfico 1). No se detectaron virus sincitial respiratorio durante esta semana, se identificaron rinovirus, parainfluenza y coronavirus (Gráfico 2). Después de un aumento a niveles moderados durante las SE 3-4, la positividad de la influenza disminuyó a niveles bajos de actividad en comparación con las semanas anteriores y se mantuvo por encima de la curva epidémica promedio (Gráfico 3).

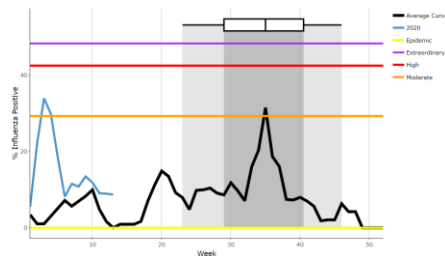
Graph 1. Belize. Influenza virus distribution EW 13, 2016-20
Distribución de virus influenza SE 13, 2016-20



Graph 2. Belize: Influenza and RSV distribution, EW 13, 2016-20
Distribución de virus influenza y VRS, SE 13, 2016-20



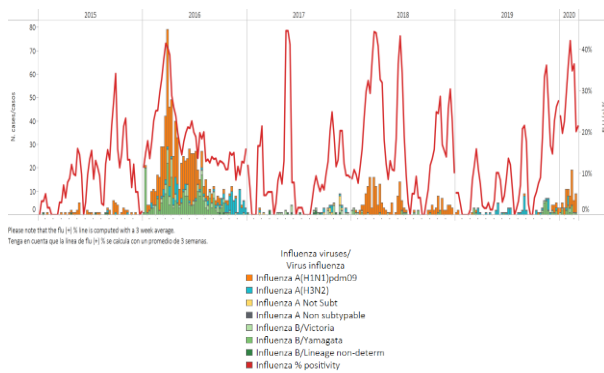
Graph 3. Belize: Percent positivity for influenza, EW 13, 2020
(compared to 2010-19)
Porcentaje de positividad de influenza, SE 13 de 2020
(comparado con 2010-19)



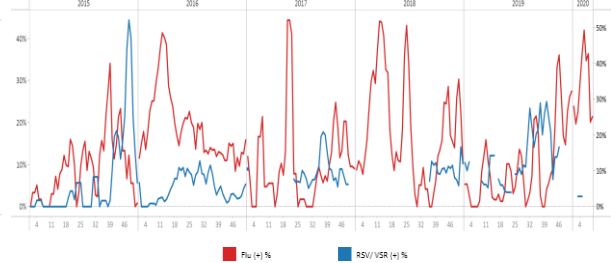
*To view more epi data, view [here](#). / Para ver más datos epi, vea [aquí](#).

- During EW 10, influenza activity decreased; influenza and other respiratory viruses were not detected in tested samples; influenza A(H1N1)pdm09 virus circulated predominantly with co-circulation of influenza B/Yamagata in previous weeks (Graph 1). RSV activity remains low, with no detection since EW 46 (Graph 2). The percent positivity for influenza decreased in EW 10 and remains elevated, at a moderate level, in comparison to the average threshold observed during the 2010-19 seasons (Graph 3). Since EW 3, the number of cases with severe acute respiratory infection (SARI) have fluctuated and remains above the epidemic threshold. During EW 11, 21 (2.4%) of 882 total hospitalizations were SARI cases and 7.3% of cases were admitted to the ICU; the most affected age group were those aged less than five years representing approximately 62% of cases. / Durante la SE 10, la actividad de influenza disminuyó; la influenza y otros virus respiratorios no se detectaron en muestras analizadas; el virus influenza A(H1N1)pdm09 circuló predominantemente con circulación concurrente de influenza B / Yamagata en semanas anteriores (Gráfico 1). La actividad del VRS sigue siendo baja, sin detección desde la SE 46 (Gráfico 2). El porcentaje de positividad para la influenza disminuyó en la SE 8, y permanece elevado a un nivel moderado en comparación con el umbral promedio observado durante los años 2010-19 (Gráfico 3). Desde la SE 3, el número de casos con infección respiratoria aguda grave (IRAG) ha fluctuado y permanece por encima del umbral epidémico. Durante la SE 11, 21 (2,4%) de 882 del total de hospitalizaciones fueron casos de IRAG y 7,3% casos fueron ingresados a la UCI; el grupo de edad más afectado fueron los menores de cinco años que representan aproximadamente el 62% de los casos.

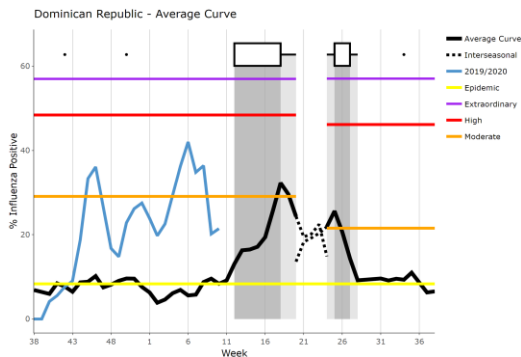
Graph 1. Dominican Republic: Influenza virus distribution, EW 10, 2015-20
Distribución del virus influenza, SE 9, 2015-20



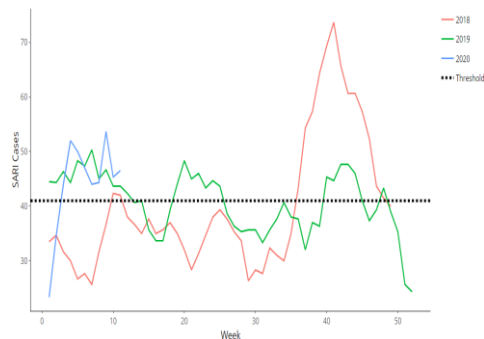
Graph 2. Dominican Republic Influenza and RSV distribution, EW 10, 2015-20
Distribución de los virus influenza y VRS, SE 10, 2015-20



Graph 3. Dominican Republic: Percent positivity for influenza, EW 10, 2020 (compared to 2010-19)
Porcentaje de positividad de influenza, SE 10 de 2020 (comparado con 2010-19)



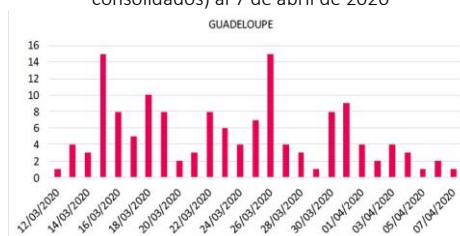
Graph 4. Dominican Republic: SARI case counts, EW 11, 2020 (compared to 2018-19)
Recuento de casos de IRAG, SE 11 de 2020 (comparado con 2018-19)



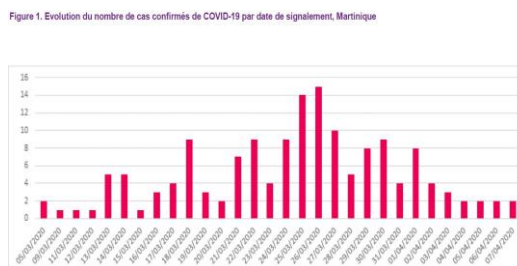
*To view more epi data, view [here](#). / Para ver más datos epi, vea [aquí](#).

- Since EW 11, the French Territories have not reported influenza surveillance data. In EW14, the French Territories published a special report of COVID-19 data which reported the first confirmed cases of COVID-19 in the territories during EW9. The Pasteur Institute of Guadeloupe analyzed 1,134 specimens received from Guadeloupe, Saint Martin, and Saint-Barthelémy; SARS-CoV-2 was detected in 141 cases from Guadeloupe, 29 cases in Saint-Martin, and 6 cases in Saint-Barthelémy (overall positivity rate of 15, 5%) (Graphs 1,2, and 4). Guadeloupe reported eight deaths occurring in hospitals (including four in the intensive care unit); Saint Martin reported two deaths in COVID-19 cases hospitalized in the intensive care unit. Martinique reported 154 confirmed COVID-19 cases with 35 patients hospitalized with severe disease; two deaths were reported from patients in the ICU (Graph 2). Since EW 11, French Guiana has reported 76 confirmed cases of COVID-19; during the past seven weeks, all cases were acquired through community spread (Graph 5)./ Desde la SE 11, los Territorios Franceses no han reportado datos de vigilancia de influenza. En EW14, los Territorios Franceses publicaron un informe especial de datos de COVID-19 que informaba los primeros casos confirmados de COVID-19 en EW9. El Instituto Pasteur de Guadalupe analizó 1.134 especímenes recibidos de Guadalupe, San Martín y San Bartolomé; El SARS-CoV-19 se detectó en 141 especímenes de Guadalupe, 29 casos en Saint-Martin y 6 casos en Saint-Barthelémy (tasa de positividad global de 15, 5%) (Gráficos 1,2 y 4). Guadalupe reportó ocho muertes ocurridas en hospitales (incluyendo cuatro en la unidad de cuidados intensivos); Saint Martin informó dos muertes en casos de COVID-19 hospitalizados en la unidad de cuidados intensivos. Martinica informó 141 casos confirmados de COVID-19 con 35 pacientes hospitalizados con enfermedad grave; Se informaron dos muertes de pacientes en la UCI (Gráfico 2). Desde la SE 11, la Guayana Francesa ha informado 76 casos confirmados de COVID-19; Durante las últimas siete semanas, todos los casos se adquirieron a través de la difusión comunitaria (Gráfico 5).

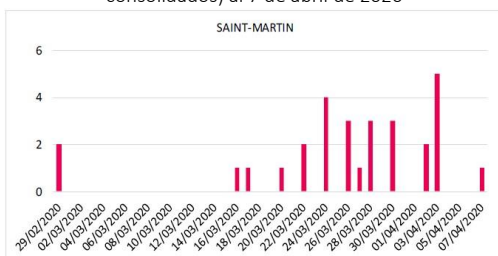
Graph 1. Guadeloupe: Number of confirmed cases of COVID-19 reported to the Public Health unit in France by date of reporting (consolidated data) as of April 7, 2020
 Número de casos confirmados de COVID-19 informados a la unidad de Salud Pública en Francia por fecha de notificación (datos consolidados) al 7 de abril de 2020



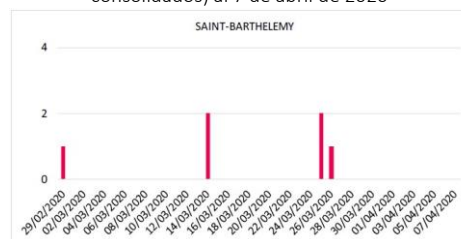
Graph 2. Martinique: Number of confirmed cases of COVID-19 by date of report, as of April 7, 2020
 Número de casos confirmados de COVID-19 por fecha de informe, al 7 de abril de 2020



Graph 3. Saint-Martin: Number of confirmed cases of COVID-19 reported to the Public Health unit in France by date of reporting (consolidated data) as of April 7, 2020
 Número de casos confirmados de COVID-19 informados a la unidad de Salud Pública en Francia por fecha de notificación (datos consolidados) al 7 de abril de 2020



Graph 4. Saint-Barthelémy: Number of confirmed cases of COVID-19 reported to the Public Health unit in France by date of reporting (consolidated data) as of April 7, 2020
 Número de casos confirmados de COVID-19 informados a la unidad de Salud Pública en Francia por fecha de notificación (datos consolidados) al 7 de abril de 2020



Graph 5. French Guiana: number of confirmed cases of COVID-19 reported to the France Public Health unit by date of start of signs and origin of contamination (consolidated data), as of April 9, 2020
 Número de casos confirmados de COVID-19 notificados a la Unidad de Salud Pública de Francia por fecha de inicio de signos y origen de la contaminación (datos consolidados), al 9 de abril de 2020



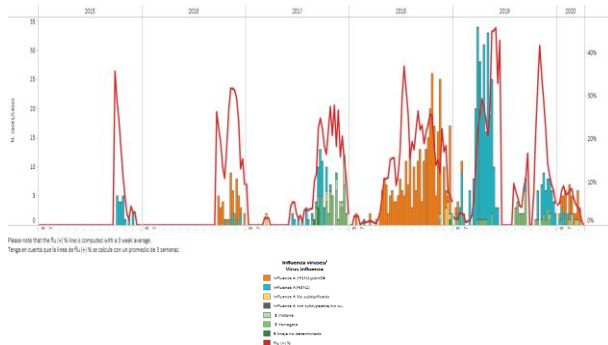
Source : Surveillance individuelle, au 09/04/2020 à 13h

* National Influenza Weekly Report available [here](#) / Boletín nacional de influenza disponible [aquí](#)
 **To view more epi data, view [here](#). / Para ver más datos epi, vea [aquí](#).

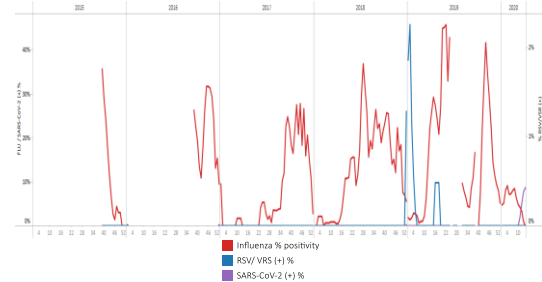
Haiti

- For the second consecutive week, Haiti has reported no influenza detections; influenza A(H1N1)pdm09 and B/Victoria circulated in previous weeks (Graph 1). During EW14, influenza percent positivity decreased to baseline levels and respiratory syncytial viruses were not detected this season; during EW14, 9% of samples tested positive for SARS-CoV-2 (Graphs 2 and 3). The number of SARI hospitalizations increased to extraordinary levels in EW14 in comparison to the average number of SARI admissions recorded during the 2017-19 seasons (Graph 4). / Por segunda semana consecutiva, Haití no ha reportado detecciones de influenza; La influenza A (H1N1) pdm09 y B / Victoria circularon en semanas anteriores (Gráfico 1). Durante la SE14, el porcentaje de positividad de la influenza disminuyó a los niveles basales y no se detectaron virus sincitiales respiratorios esta temporada; durante la SE14, el 9% (27 /) de las muestras dieron positivo para SARS-CoV-2 (Gráficos 2 y 3). El número de hospitalizaciones por IRAG aumentó a niveles extraordinarios en la SE14 en comparación con el número promedio de ingresos por IRAG registrados durante las temporadas 2017-19 (Gráfico 4).

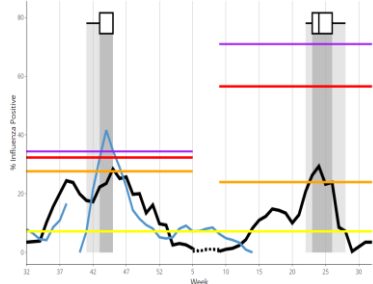
Graph 1. Haiti: Influenza virus distribution EW 14, 2015-20
 Distribución de virus influenza SE 14, 2015-20



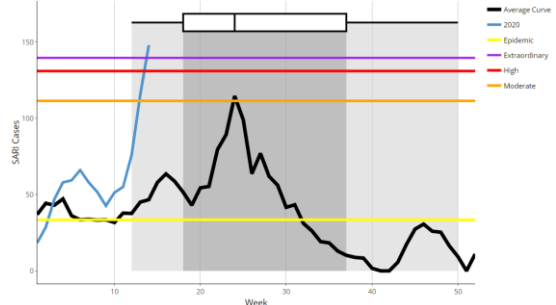
Graph 2. Haiti: Influenza, RSV, and SARS-CoV-2 distribution, EW 14, 2015-20
 Distribución de los virus influenza, VRS y SARS-CoV-2, SE 14, 2015-20



Graph 3. Haiti: Percent positivity for influenza, EW 14, 2020 (compared to 2015-19)
 Porcentaje de positividad de influenza, SE 14 de 2020 (comparado con 2015-19)



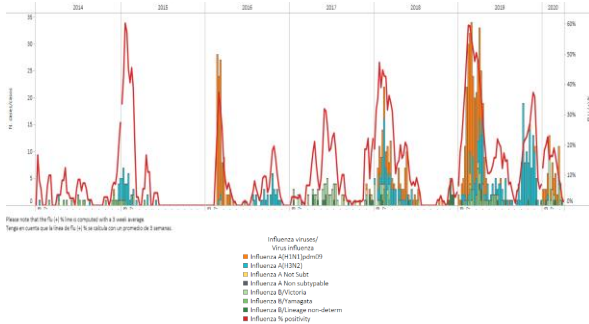
Graph 4. Haiti: Number of SARI cases, EW 14, 2020 (compared to 2017-19)
 Número de casos de IRAG, SE 14 de 2020 (comparado con 2017-19)



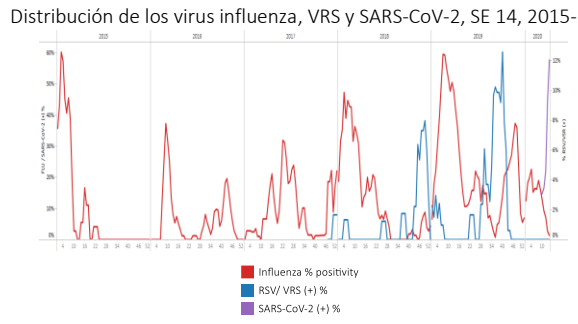
*To view more epi data, view [here](#). / Para ver más datos epi, vea [aquí](#).

- During EW 14, no influenza detections were recorded, with detection of influenza A(H3N2) and influenza B/Victoria viruses reported in previous weeks (Graph 1). RSV was last reported in EW 45 and has not been reported during 2020; SARS-CoV-2 percent positive was 58% in EW 14 (Graph 2). Percent positivity for influenza remains below the average curve seen in previous seasons and was at a baseline level of activity (Graph 3). During the last three weeks, the number of SARI hospitalizations/100 hospitalizations had sharply increased; this week, a slight decrease in the number of SARI hospitalizations was reported and remained at a moderate level of activity (Graph 4). The number of pneumonia and ARI cases decreased and remained below seasonal thresholds observed during the same period in 2011-19 (Graphs 5 and 6). No influenza-associated SARI deaths have been reported in the last four weeks. / Durante la SE 14, no se registraron detecciones de influenza, con detección de virus de influenza A (H3N2) e influenza B / Victoria en semanas anteriores (Gráfico 1). El RSV se informó por última vez en la SE 45 y no se informó durante 2020; El SARS-CoV-2 por ciento positivo fue 58% en la SE 14 (Gráfico 2). El porcentaje de positividad para la influenza permanece por debajo de la curva promedio observada en temporadas anteriores y estaba en un nivel de actividad de referencia (Gráfico 3). Durante las últimas tres semanas, el número de hospitalizaciones por IRAG / 100 hospitalizaciones aumentó considerablemente; esta semana, se informó una ligera disminución en el número de hospitalizaciones por IRAG y se mantuvo en un nivel moderado de actividad (Gráfico 4). El número de casos de neumonía e IRA disminuyó y se mantuvo por debajo de los umbrales estacionales observados durante el mismo período en 2011-19 (Gráficos 5 y 6). No se han reportado muertes por IRAG asociadas a la influenza en las últimas cuatro semanas.

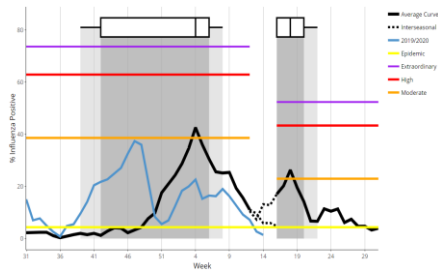
Graph 1. Jamaica: Influenza virus distribution, EW 14, 2015-20
Distribución de virus influenza SE 14, 2015-20



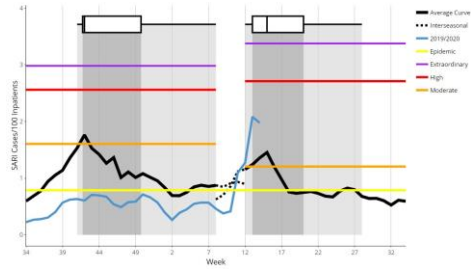
Graph 2. Jamaica: Influenza, RSV, and SARS-CoV-2 virus distribution, EW 14, 2015-20
Distribución de los virus influenza, VRS y SARS-CoV-2, SE 14, 2015-20



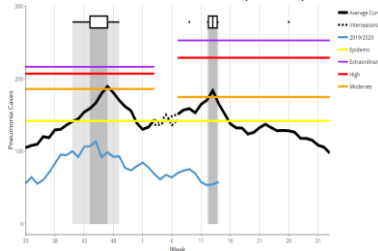
Graph 3. Jamaica: Percent positivity for influenza, EW 14, 2020
(compared to 2010-19)
Porcentaje de positividad de influenza, SE 14 de 2020
(comparado con 2010-19)



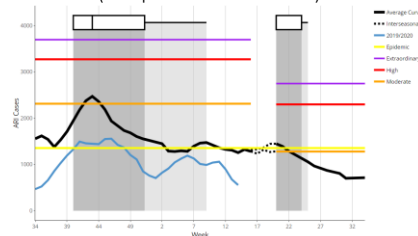
Graph 4. Jamaica: SARI hospitalizations/100 hospitalizations, EW 14, 2020 (compared to 2011-19)
Hospitalizaciones de IRAG/100 hospitalizaciones, SE 14 de 2020
(comparado con 2011-19)



Graph 5. Jamaica: Number of pneumonia cases, EW 14, 2014-20
Número de casos de neumonía, SE 14, 2014-2020



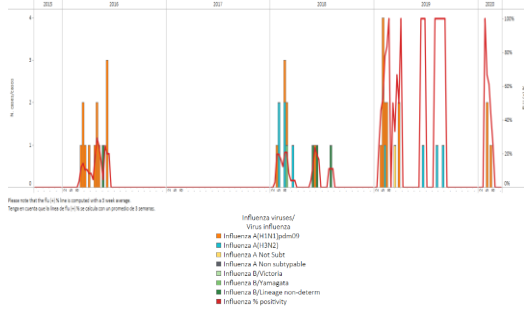
Graph 6. Jamaica: Number of ARI cases, EW 14, 2020
(compared to 2011-19)
Número de casos de IRA, SE 14 de 2020
(comparado con 2011-19)



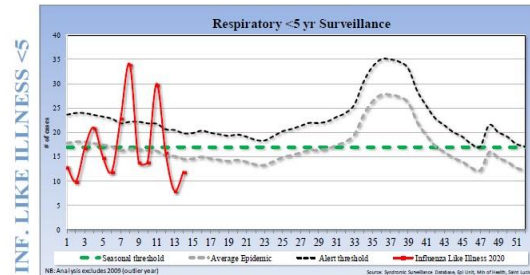
*To view more epi data, view [here](#). / Para ver más datos epi, vea [aquí](#)

- During the first weeks of the year, influenza A(H1N1)pdm09 viruses circulated (Graph 1). The respiratory surveillance system recorded a slight increase in the number of influenza-like illness (ILI) cases among children < 5 years (Graph 2). Among persons aged five years and older, the system reported an increase in the number of ILI cases, continuing above the alert threshold for nine consecutive weeks (Graph 3). The greatest proportion of ILI cases in children aged < 5 years was from Soufriere, while the greatest proportion of ILI cases among persons aged five years and older was from Vieux Fort. During EW 12, the number of SARI cases was lower than expected and remained below the average number of SARI hospitalizations reported during the same time period in the 2016-19 seasons (Graph 4). Until EW 12, the age group most affected was the 1-4 years old which account for 50% of all SARI admissions. / Durante las primeras semanas del año, circularon los virus influenza A(H1N1)pdm09 (Gráfico 1). El sistema de vigilancia respiratoria registró un ligero aumento del número de casos de enfermedades similares a la influenza (ETI) en niños <5 años (Gráfico 2). Entre las personas de cinco años o más, el sistema informó un aumento en el número de casos de ETI, continuando por encima del umbral de alerta durante nueve semanas consecutivas (Gráfico 3). La mayor proporción de casos de ETI en niños <5 años fue de Soufriere, mientras que la mayor proporción de casos de ETI entre personas de cinco años y mayores fue de Vieux Fort. Durante la SE 12, el número de casos de IRAG fue más bajo de lo esperado y se mantuvo por debajo del número promedio de hospitalizaciones por IRAG reportadas durante el mismo período en las temporadas 2016-19 (Gráfico 4). Hasta la SE 12, el grupo de edad más afectado fue el de 1 a 4 años, que representa el 50% de todas las admisiones por IRAG.

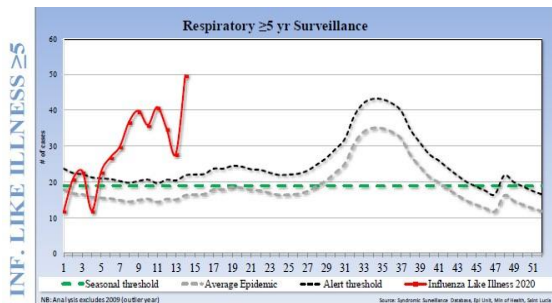
Graph 1. Saint Lucia: Influenza virus distribution, EW 14, 2015-20
Distribución de virus influenza, SE 14, 2015-20



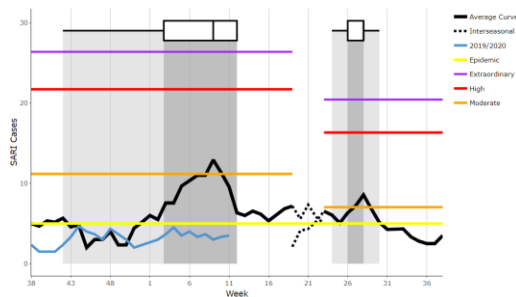
Graph 2. Saint Lucia: ILI case distribution by EW among the < 5 years of age, EW 14, 2016-20
Distribución de ETI por SE entre los <5 años, SE 14, 2016-20



Graph 3. Saint Lucia: ILI case distribution among the ≥ 5 years of age, EW 14, 2016-20
Número de casos de ETI en los ≥ 5 años, SE 14, 2016-19



Graph 4. Saint Lucia: Number of SARI cases, EW 12, 2020 (compared to 2016-20)
Número de casos de IRAG, SE 12 de 2020 (comparado con 2016-19)

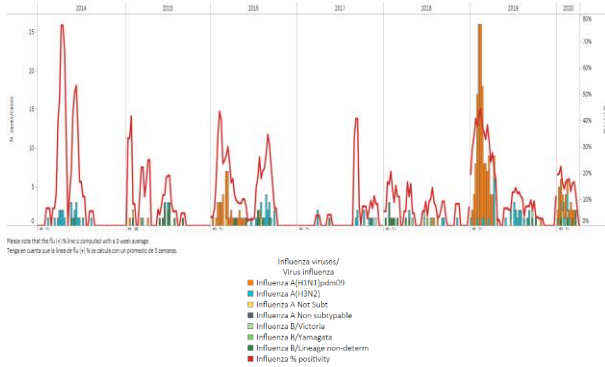


*To view more epi data, view [here](#). / Para ver más datos epi, vea [aquí](#).

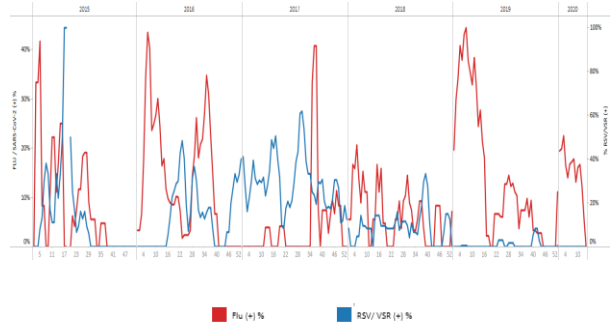
Suriname

- In EW 14, no influenza detections were reported with influenza B and A(H1N1)pdm09 viruses circulating in previous weeks (Graph 1). During 2020, no respiratory syncytial viruses have been reported. Influenza percent positivity remained at interseasonal levels (Graphs 2 and 3). In EW 14, the number of patients presenting with influenza-like illness was smaller than the number reported in EW 13, with ILI activity at baseline levels (Graph 4). The number of SARI hospitalizations / 100 hospitalizations decreased slightly in comparison to the previous week and was above the average number observed in previous seasons during the same time period; activity decreased to a low level (Graph 5). No SARI-associated deaths were reported in recent weeks. / En la SE 14, no se notificaron detecciones de influenza con la circulación de los virus influenza B y A(H1N1)pdm09 en las semanas anteriores (Gráfico 1). Durante 2020, no se han reportado virus sincitiales respiratorios. El porcentaje de positividad de la influenza se mantuvo en niveles interestacionales (Gráficos 2 y 3). En la SE 14, el número de pacientes que se presentaron con una enfermedad similar a la influenza fue menor que el número informado en la SE 13, con actividad de la ETI en niveles basales (Gráfico 4). El número de hospitalizaciones por IRAG / 100 hospitalizaciones disminuyó ligeramente en comparación con la semana anterior y estuvo por encima del número promedio observado en temporadas anteriores durante el mismo período de tiempo; la actividad disminuyó a un nivel bajo (Gráfico 5). No se informaron muertes asociadas a IRAG en las últimas semanas.

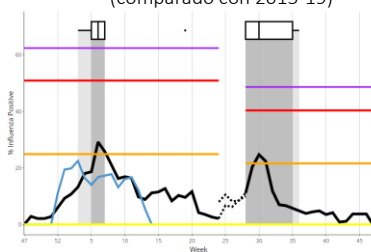
Graph 1. Suriname: Influenza virus distribution, EW 14, 2015-20
Distribución de virus influenza, SE 14, 2015-20



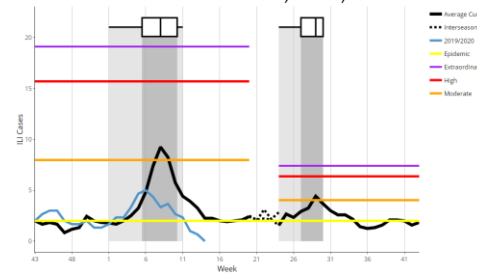
Graph 2. Suriname: Influenza and RSV distribution, EW 14, 2015-20
Distribución de los virus influenza y VRS, SE 14, 2015 -20



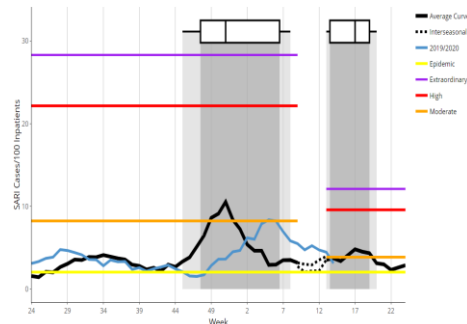
Graph 3. Suriname: Percent positivity for influenza, EW 14, 2020
(compared to 2015-19)
Porcentaje de positividad de influenza, SE 14 de 2020
(comparado con 2015-19)



Graph 4. Suriname: Number of ILI cases, EW 14, 2016-20
Número de casos de ETI, SE 14, 2016-20



Graph 5. Suriname: SARI cases / 100 hospitalizations, EW 14, 2020 (compared to 2014-19)
Casos de IRAG por cada 100 hospitalizaciones, SE 14 de 2020 (comparado con 2014-19)



*To view more epi data, view [here](#). / Para ver más datos epi, vea [aquí](#).

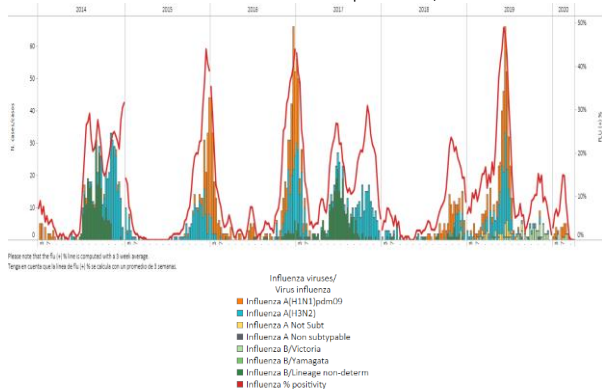
Central America / América Central

Costa Rica

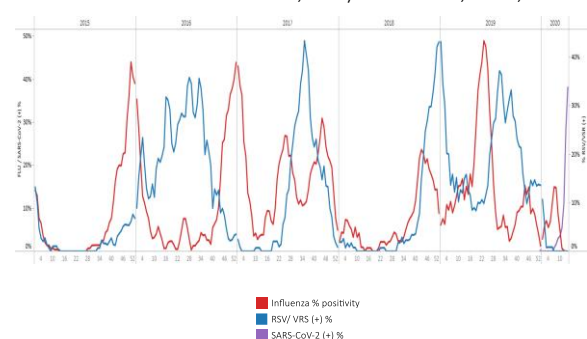
Central America -
América Central

- In Costa Rica, during EW 14, influenza percent positivity decreased in comparison to the previous week; no influenza or RSV detections were reported with A(H1N1)pdm09 circulating in past weeks. SARS-CoV-2 percent positive increased as compared to the previous week. Of 55 samples analyzed for SARS-CoV-2, 17 (58.1%) tested positive (Graphs 1, 2, and 3). The number of SARI cases slightly decreased and was above the average epidemic curve at a moderate level of activity in comparison to previous seasons (Graph 4). Among 620 hospitalizations recorded in EW 14, 58 (9.4%) were SARI cases, all were sampled, and none tested positive for SARS-CoV-2. In the last four weeks, the percentage of SARI cases admitted to ICU (1.4%) was lower than the percentage recorded in 2019 for the same period (8.16%). This week the number of ILI cases decreased as compared to the previous week, although it remained above the epidemic threshold (Graph 5). During EWs 11-14, a total of 11, 531 outpatient consultations were recorded, 18.5% (2,139) were for ILI; 98% of patients with ILI were sampled, 1 (0.1%) tested positive for influenza; 313 patients were tested for SARS-CoV-2 and 25.2% (79) were positive. 78.7% of cases were in the 20-39 year old age group, followed by those 40-59 years of age representing 26.2% of the cases. Most of the SARS-CoV-2 associated-ILI cases were from San Jose province, followed by those residing in Heredia and Alajuela. In the last four weeks, a total of twelve SARI-deaths were recorded; seven deaths occurred among those aged 40 years and older. None of the cases were associated with influenza, SARS-CoV-2, or RSV viruses. / En Costa Rica, durante la SE 14, el porcentaje de positividad de influenza disminuyó en comparación con la semana anterior, no se notificaron detecciones de influenza o VRS con la circulación de los virus influenza A(H1N1)pdm09 en semanas previas. El porcentaje de positividad para SARS-CoV-2 aumentó en comparación con la semana anterior. De 55 muestras analizadas para SARS-CoV-2, 17 (58.1%) fueron positivas (Gráficos 1, 2 y 3). El número de casos de IRAG aumentó y estuvo por encima de la curva epidémica promedio en un nivel moderado de actividad en comparación con temporadas anteriores (Gráfico 4). De 620 hospitalizaciones registradas en la SE 14, 58 (9.4%) fueron casos de IRAG, todos fueron muestreados y ninguno dio positivo para SARS-CoV-2. En las últimas cuatro semanas, el porcentaje (1.4%) de casos de IRAG admitidos en la UCI fue inferior al porcentaje observado en 2019 para el mismo período (8.16%). En esta semana, el número de casos de ETI disminuyó en comparación con la semana anterior, aunque se mantuvo por encima del umbral epidémico (Gráfico 5). De la SE11 a la SE 14, se registraron un total de 11.531 consultas ambulatorias, el 18,5% (2.139) eran ETI; 98% de los pacientes con ETI fueron muestreados, 1 (0,1%) dio positivo para influenza; a 313 le realizaron pruebas para SARS-CoV-2 y 25,2% (79) resultaron positivos; el grupo de edad más afectado fue el de 20-39 años con 78,7% de los casos seguido por el grupo de 40-59 años con el 26,2% de ellos. La mayoría de los casos de ETI asociados con SARS-CoV-2 provenían de la provincia de San José, seguidos por los que residían en Heredia y Alajuela. En las últimas cuatro semanas, se registraron un total de doce muertes por IRAG, siete ocurrieron entre los mayores de 40 años. Ninguna de ellas estaba asociada con los virus influenza, SARS-CoV-2 o VRS.

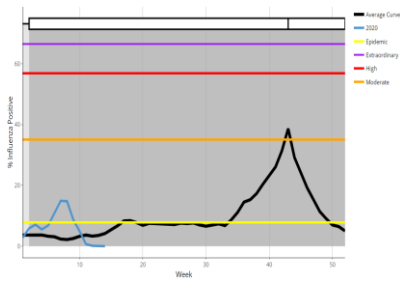
Graph 1. Costa Rica: Influenza virus distribution, EW 14, 2015-20
Distribución de virus influenza por SE 14, 2015-20



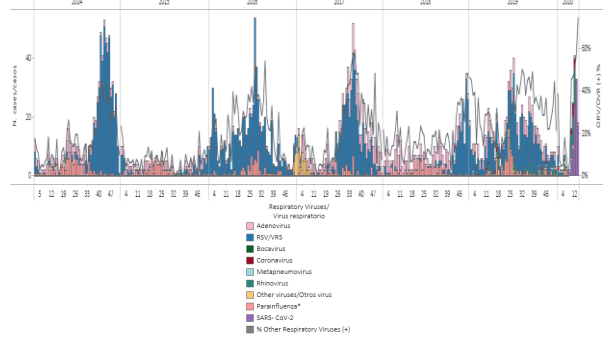
Graph 2. Costa Rica: Influenza, RSV, and SARS-CoV-2 distribution, EW 13, 2015-20
Distribución de los virus influenza, VRS y SARS-CoV-2, SE 13, 2015-20



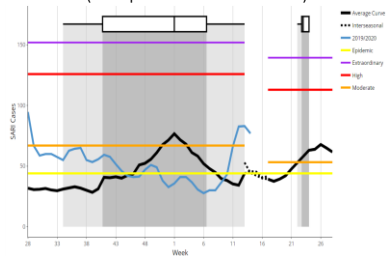
Graph 3. Costa Rica: Percent positivity for influenza, EW 14, 2020 (compared to 2011-19)
Porcentaje de positividad de influenza, SE 14 de 2020 (comparado con 2011-19)



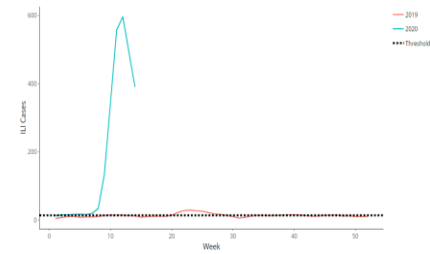
Graph 4. Costa Rica: RSV and other respiratory viruses distribution, EW 14, 2014-20
Distribución del VRS y otros virus respiratorios, SE 14, 2014-20



Graph 5. Costa Rica: Number of SARI cases, EW 14, 2020 (compared to 2013-19)
Número de casos de IRAG, SE 14 de 2020 (comparado con 2013-19)



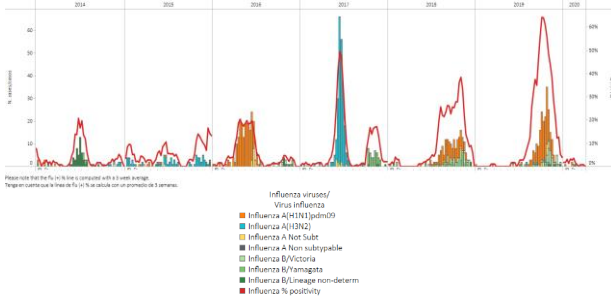
Graph 6. Costa Rica: Number of ILI cases, EW 14, 2019-20
Número de casos de ETI, SE 14 de 2019-20



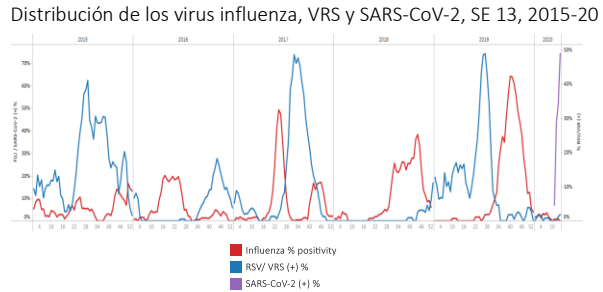
*To view more epi data, view [here](#). / Para ver más datos epi, vea [aquí](#).

- In EW 14, no influenza detections were reported with influenza B viruses circulating in previous weeks. Influenza percent positivity continues at interseasonal levels of activity (Graphs 1 and 3). Two RSV detections were reported this week. Percent positivity for SARS-CoV-2 increased to 72.2% (Graphs 2 and 4) and 68.5% (37/54) of the analyzed samples tested positive for SARS-CoV-2. The number of SARI and pneumonia cases decreased as compared to the previous week and continue at interseasonal levels (Graphs 5 and 6). During the last four weeks, 3.5% (701/20076) of hospitalizations were SARI cases; 8.4% were sampled, and none tested positive for influenza or RSV viruses; one tested positive for other respiratory viruses. The percent of SARI cases admitted to ICU was 5.2, much lower than the 13.1% reported in 2019, for the same period. / En la SE 14, no se notificaron detecciones de influenza con la circulación de virus influenza B en semanas anteriores. El porcentaje de positividad de la influenza continúa en los niveles de actividad basal (Gráficos 1 y 3). Se informaron dos detecciones de VRS esta semana. El porcentaje de positividad para SARS-CoV-2 aumentó al 72.2% (Gráficos 2 y 4) y el 68.5% (37/54) de las muestras analizadas, dieron positivo para SARS-CoV-2. El número de casos de IRAG y neumonía disminuyó en comparación con la semana anterior y continúa en niveles interestacionales (Gráficos 5 y 6). Durante las últimas cuatro semanas, el 3,5% (701/20076) de las hospitalizaciones fueron casos de IRAG, el 8.4% fueron muestreados y ninguno dio positivo para los virus influenza o VRS, una dio positivo para otros virus respiratorios. El porcentaje de casos de IRAG admitidos a la UCI fue de 5,2, muy inferior al 13,1% informado en 2019, para el mismo período.

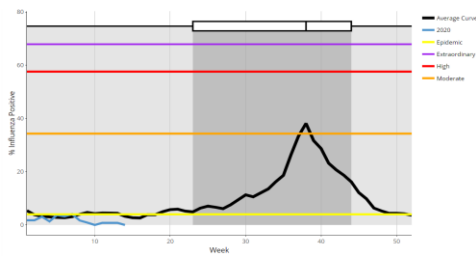
Graph 1. El Salvador: Influenza virus distribution, EW 14, 2015-20
Distribución de virus influenza, SE 14, 2015-20



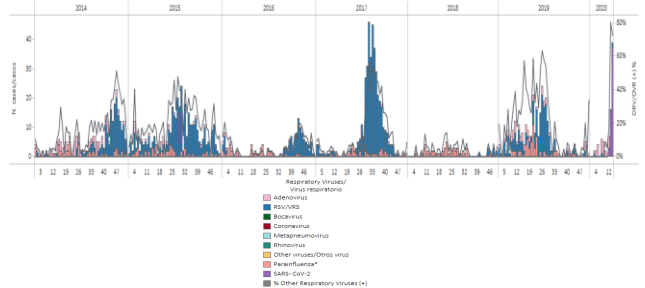
Graph 2. El Salvador: Influenza, RSV, and SARS-CoV-2 distribution, EW 13, 2015-20
Distribución de los virus influenza, VRS y SARS-CoV-2, SE 13, 2015-20



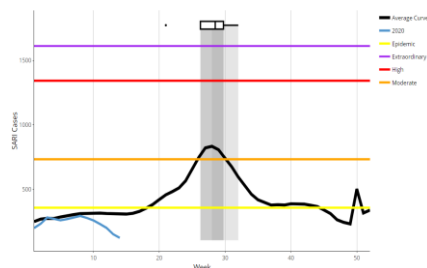
Graph 3. El Salvador: Percent positivity for influenza, EW 14, 2020 (compared to 2010-19)
Porcentaje de positividad de influenza, SE 14 de 2020 (comparación 2010-19)



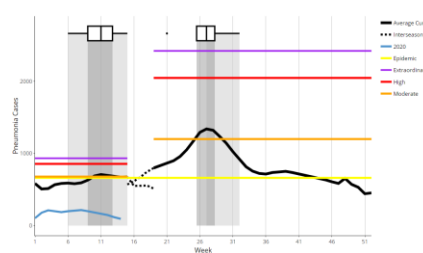
Graph 4. El Salvador: RSV and other respiratory viruses distribution, EW 14, 2014-20
Distribución del VRS otros virus respiratorios, SE 14, 2014-20



Graph 5. El Salvador: Number of SARI cases out of total hospitalizations, EW 14, 2020 (compared to 2016-19)
Número de casos de IRAG del total de hospitalizaciones, SE 14 de 2020 (comparado con 2016-19)



Graph 6. El Salvador: Number of pneumonia cases, EW 14, 2020 (compared to 2016-20)
Número de casos de neumonía, SE 14 de 2020 (comparado con 2016-19)

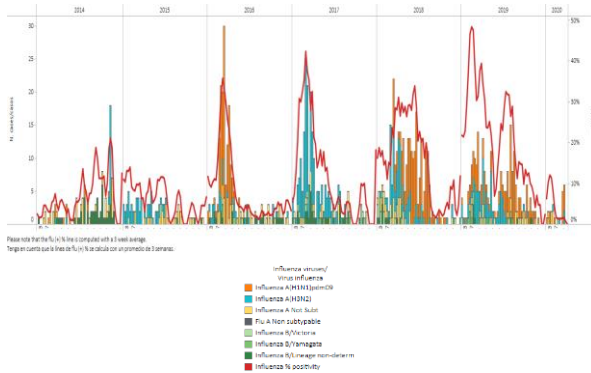


*To view more epi data, view [here](#). / Para ver más datos epi, vea [aquí](#).

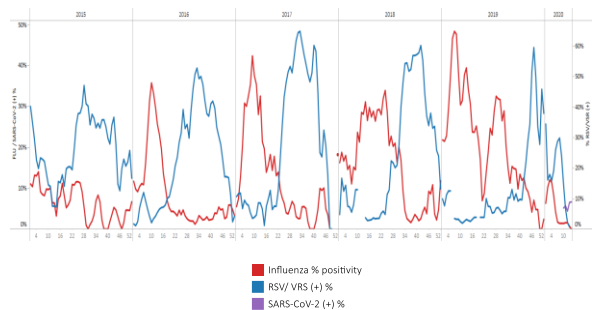
Guatemala

- During EW 12-13, influenza detections increased with influenza A(H1N1)pdm09 and A(H3N2) viruses co-circulating in recent weeks. No influenza or RSV detections were reported in EW 14. Influenza percent positive remained at baseline levels (Graphs 1, 2, and 3). Overall, 271 samples were analyzed in EW 14, 4% tested positive for SARS-CoV-2. The number of SARI cases among all hospitalizations and the number of pneumonia and ARI cases decreased and were below the seasonal thresholds (Graphs 4, 5 and 6). / De la SE 12 a la 13, las detecciones de influenza aumentaron con la circulación concurrente de los virus influenza A(H1N1)pdm09 y A(H3N2). No se informaron detecciones de influenza o VRS en la SE 14. El porcentaje positivo de influenza permaneció en los niveles de referencia (Gráficos 1, 2 y 3). En total, 271 muestras fueron analizadas en la SE 14, 4% dieron positivo para SARS-CoV-2. El número de casos de IRAG entre todas las hospitalizaciones, el número de casos de neumonía e IRA disminuyó y estuvo por debajo del umbral estacional (Gráficos 5 y 6).

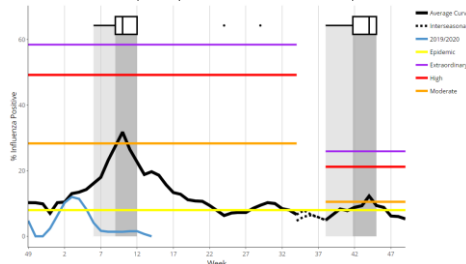
Graph 1. Guatemala: Influenza virus distribution, EW 14, 2015-20
Distribución de influenza, SE 14, 2015-20



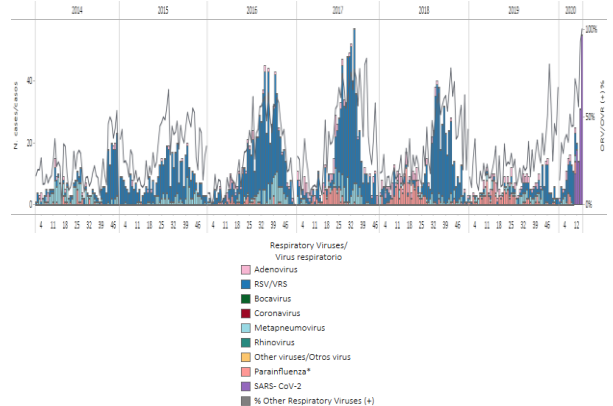
Graph 2. Guatemala: Influenza, RSV, and SARS-CoV-2 distribution, EW 14, 2015-20
Distribución de los virus influenza, VRS y SARS-CoV-2, SE 14, 2015-20



Graph 3. Guatemala: Percentage positivity for influenza, EW 14, 2020 (compared to 2010-19)
Porcentaje de positividad de influenza, SE 14 de 2020 (comparado con 2010-19)



Graph 4. Guatemala: RSV and other respiratory viruses distribution, EW 14, 2014-20
Distribución del VRS y otros virus respiratorios, SE 14, 2014-20

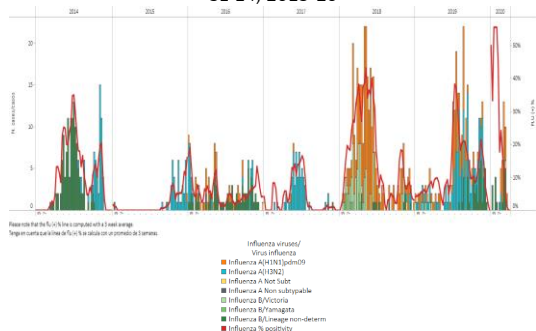


*To view more epi data, view [here](#). / Para ver más datos epi, vea [aquí](#).

- In EW 14, no influenza or RSV detections were reported, with influenza A(H1N1)pdm09 circulating in previous weeks and low RSV activity (Graphs 1, 2 and 3). Among 57 samples analyzed for SARS-CoV-2, 9 (16%) tested positive. The number of SARI cases continued to decrease and was at baseline levels (Graph 4). Among 401 hospitalizations, 34 (8.5%) were SARI cases, 33 were sampled, and 1 (3%) tested positive for SARS-CoV-2; no underlying medical condition was reported, the case was ≥ 60 years of age and notified from Cortes department. / En la SE 14, no se informaron detecciones de influenza ni de VRS, con influenza la circulación de los virus influenza A(H1N1)pdm09 en semanas anteriores y baja actividad del VRS (Gráficos 1, 2 y 3). Entre 57 muestras analizadas para SARS-CoV-2, 9 (16%) dieron positivo. El número de casos de IRAG continuó disminuyendo y se situó en los niveles basales (Gráfico 4). De 401 hospitalizaciones, 34 (8,5%) fueron casos de IRAG, 33 fueron muestreados y 1 (3%) dio positivo para SARS-CoV-2; no se informó ninguna condición médica subyacente, el caso fue del grupo de edad ≥ 60 años y se notificó desde el departamento de Cortés.

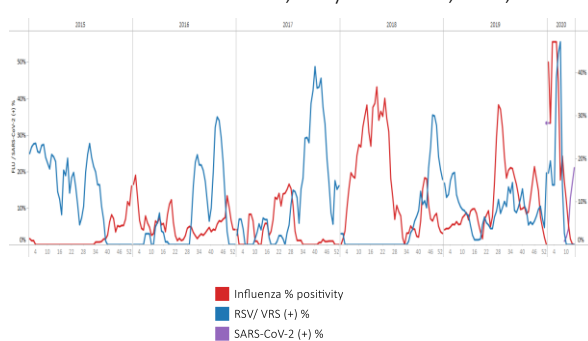
Graph 1. Honduras: Influenza virus distribution from sentinel surveillance, EW 14, 2015-20

Distribución virus de la influenza de la vigilancia centinela, SE 14, 2015-20



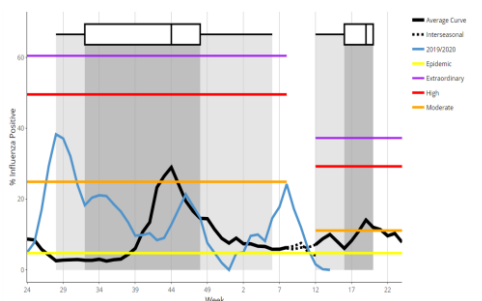
Graph 2. Honduras: Influenza, RSV, and SARS-CoV-2 distribution, EW 14, 2015-20

Distribución de los virus influenza, VRS y SARS-CoV-2, SE 14, 2015-20



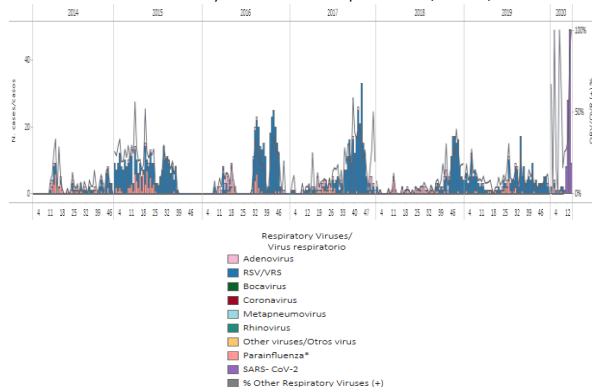
Graph 3. Honduras: Percent positivity for influenza, from sentinel surveillance, EW 14, 2020 (compared to 2010-19)

Porcentaje de positividad de influenza, de la vigilancia centinela, SE 14 de 2020 (comparado con 2010-19)



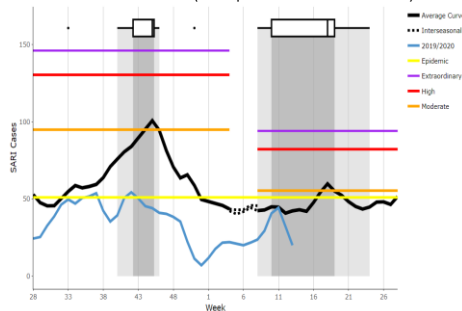
Graph 4. Honduras: RSV and other respiratory viruses distribution, EW 14, 2014-20

Distribución del VRS y otros virus respiratorios, SE 14, 2014-20



Graph 5. Honduras: SARI cases, from sentinel surveillance, EW 13, 2020 (compared to 2010-19)

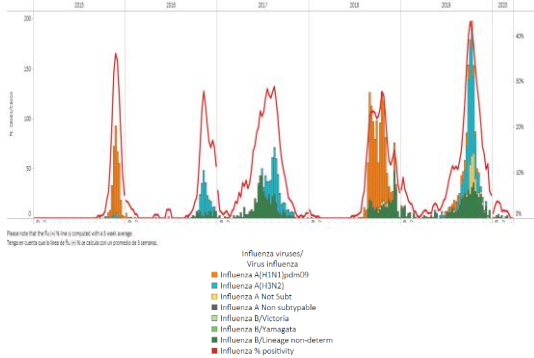
Casos de IRAG de la vigilancia centinela, SE 13 de 2020 (comparado con 2010-19)



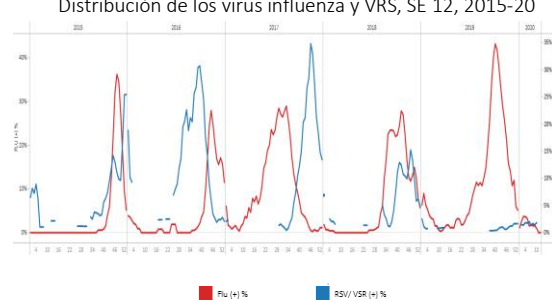
*To view more epi data, view [here](#). / Para ver más datos epi, vea [aquí](#).

- In EW 12, no influenza or RSV detections were reported with influenza B viruses circulating in recent weeks. Influenza percent positivity was at a low level of activity (Graphs 1, 2, and 3). Among the samples analyzed (86), 2 (2.3%) tested positive for SARS-CoV-2. In EW 10, ARI and pneumonia rates (479,7 per 100,000 population and 33,8 per 100,000 population, respectively) were lower as compared to rates observed in 2019¹. / En la SE 12, no se notificaron detecciones de influenza ni de VRS con la circulación del virus influenza B en las últimas semanas. El porcentaje de positividad de la influenza estuvo en un nivel bajo de actividad (Gráficos 1, 2 y 3). Entre las muestras analizadas (86), 2 (2,3%) dieron positivo para SARS-CoV-2. En la SE 10, las tasas de IRA y neumonía (479,7 por 100.000 habitantes y 33,8 por 100.000 habitantes, respectivamente) fueron más bajas en comparación con las tasas observadas en 2019¹.

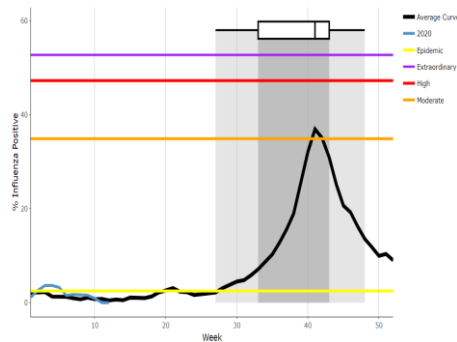
Graph 1. Nicaragua. Influenza virus distribution, EW 12, 2015-20
Distribución de influenza, SE 12, 2015-20



Graph 2. Nicaragua: Influenza and RSV distribution, EW 12, 2015-20
Distribución de los virus influenza y VRS, SE 12, 2015-20



Graph 3. Nicaragua : Percent positivity for influenza, from sentinel surveillance; EW 12, 2020 (compared to 2010-19)
Porcentaje de positividad de influenza de la vigilancia centinela; SE 12 de 2020 (comparado con 2010-19)



Source: Boletín Epidemiológico Semana No. 10. Ministerio de Salud. [Boletín epidemiológico SE 10](#)

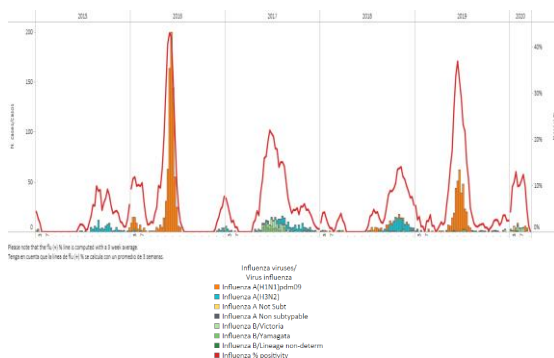
*To view more epi data, view [here](#). / Para ver más datos epi, vea [aquí](#).

Panama

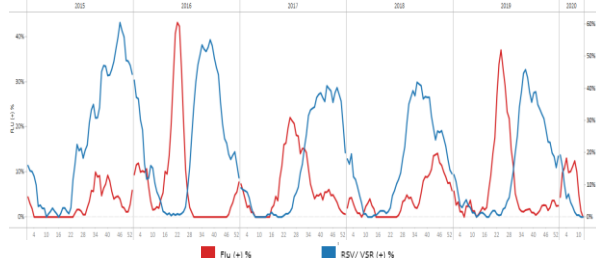
- During last two EWs, no influenza or RSV detections were reported with influenza A(H1N1)pdm09 and B/Victoria circulating in recent weeks (Graph 1, 2 and 4). Influenza percent positivity decreased to baseline levels (Graph 3). Among 321 samples analyzed this week, 8 (2.5%) tested positive for SARS-CoV-2. / En las dos últimas SE, no se informaron detecciones de influenza ni de VRS con circulación de influenza A(H1N1)pdm09 y B/Victoria en semanas recientes (Gráficos 1, 2 y 4). El porcentaje de positividad de influenza disminuyó a niveles de referencia (Gráfico 3). De 321 muestras analizadas esta semana, 8 (2,5%) dieron positivo para SARS-CoV-2.

Central America-
América Central

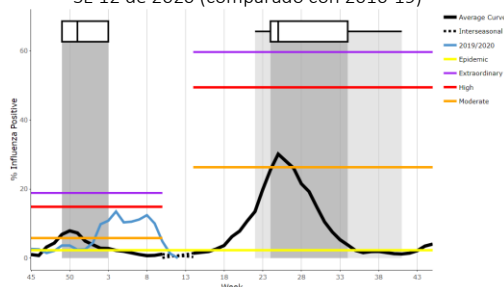
Graph 1. Panama: Influenza virus distribution, EW 12, 2015-20
Distribución virus de influenza, SE 12, 2015-20



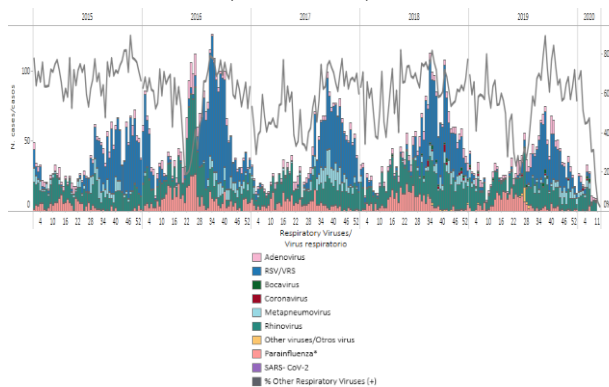
Graph 2. Panama: Influenza and RSV distribution, EW 12, 2015-20
Distribución de virus influenza y VRS, EW 12, 2015-20



Graph 3. Panama: Percent positivity for influenza, from sentinel surveillance, EW 12, 2020 (compared to 2010-19)
Porcentaje de positividad de influenza, de la vigilancia centinela, SE 12 de 2020 (comparado con 2010-19)



Graph 4. Panama: RSV and other respiratory viruses distribution, EW 12, 2015-20
Distribución del VRS y otros virus respiratorios, SE 12, 2015-20

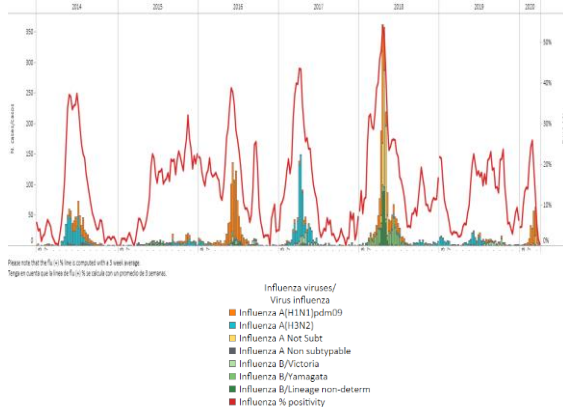


*To view more epi data, view [here](#). / Para ver más datos epi, vea [aquí](#).

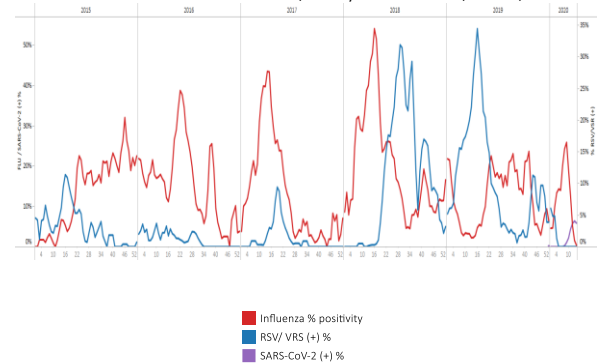
Bolivia

- During EW 14, 2020, no influenza detections were recorded with influenza A(H1N1)pdm09 viruses circulating in previous weeks; influenza percent positivity decreased and was at interseasonal levels. Since EW 3, no respiratory syncytial virus has been reported (Graphs 1, 2, and 3). Among 286 samples analyzed for SARS-CoV-2, 34 (11.9%) tested positive, lower than the percentage reported in the previous week (18.5%). / En la SE 14 de 2020, no se registraron detecciones de influenza con la circulación de los virus influenza A(H1N1)pdm09 en las semanas anteriores; el porcentaje de positividad de la influenza disminuyó y se ubicó en niveles interestacionales. Desde la SE 3, no se ha reportado ningún virus sincitial respiratorio (Gráficos 1, 2 y 3). Entre 286 muestras analizadas para SARS-CoV-2, 34 (11,9%) dieron positivo, más bajo que el porcentaje reportado en la semana anterior (18,5%).

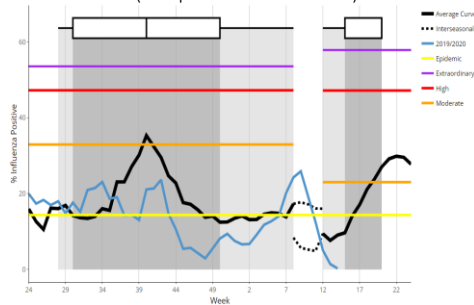
Graph 1. Bolivia: Influenza virus distribution, EW 14, 2015-20
Distribución de influenza, SE 14, 2015-20



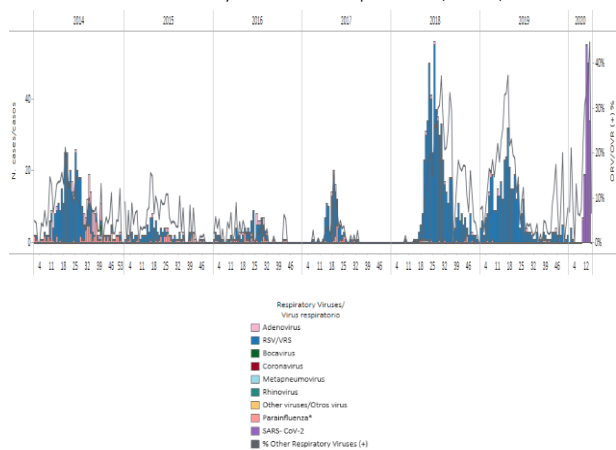
Graph 2. Bolivia: Influenza, RSV, and SARS-CoV-2 distribution, EW 14, 2015-20
Distribución de los virus influenza, VRS y SARS-CoV-2, SE 14, 2015-20



Graph 3. Bolivia: Percent positivity for influenza, EW 14, 2020 (compared to 2010-19)
Porcentaje de positividad de influenza, SE 14 de 2020 (comparado con 2010-19)



Graph 4. Bolivia: RSV and other respiratory viruses distribution, EW 14, 2014-20
Distribución del VRS y otros virus respiratorios, SE 14, 2014-20

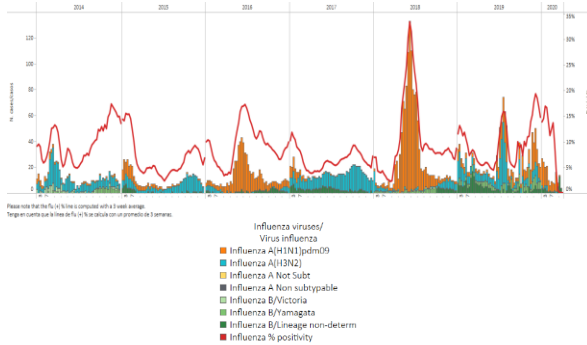


*To view more epi data, view [here](#). / Para ver más datos epi, vea [aquí](#).

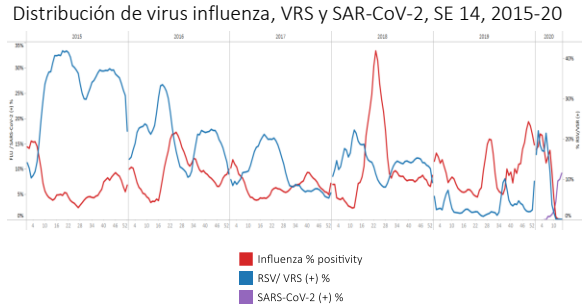
Colombia

- No influenza detections were reported during EW 14 with influenza A(H1N1)pdm09 and B viruses co-circulating in previous weeks (Graph 1). No respiratory syncytial virus (RSV) detections were reported (Graph 2) with RSV activity at baseline levels. Influenza transmissibility, represented by the composite of ARI cases and influenza positivity, remained at baseline levels (Graph 3). After a peak in EW 12, SARS-CoV-2 detections have decreased to 9% positivity (Graphs 2 and 4). During this week, among 919 samples analyzed for SARS-CoV-2, 88 (9.6%) tested positive. Throughout the 2019-2020 season, SARI case counts and pneumonia-related hospitalizations continued lower than average seasonal levels (Graphs 5 and 6). / No se informaron detecciones de influenza durante la SE 14 con la circulación concurrente de los virus influenza A(H1N1)pdm09 y B que en las semanas anteriores (Gráfico 1). No se notificaron detecciones del virus respiratorio sincitial (VRS) (Gráfico 2) con actividad de VRS en los niveles basales. La transmisibilidad de la influenza, representada por la combinación de casos de IRA y positividad de la influenza, se mantuvo en los niveles basales (Gráfico 3). Después de un pico en la SE 12, las detecciones de SARS-CoV-2 han disminuido al 9% de positividad (Gráficos 2 y 4). Durante esta semana, entre 919 muestras analizadas para SARS-CoV-2, 88 (9,6%) dieron positivo. A lo largo de la temporada 2019-2020, el recuento de casos de IRAG y las hospitalizaciones relacionadas con la neumonía continuaron por debajo de los niveles estacionales promedio (Gráficos 5 y 6).

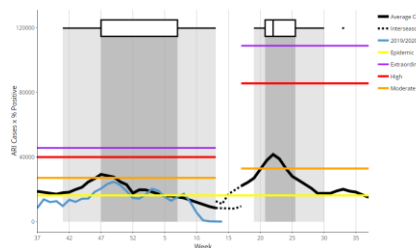
Graph 1. Colombia: Influenza virus distribution, EW 14, 2015-20
Distribución de virus influenza, SE 14, 2015-20



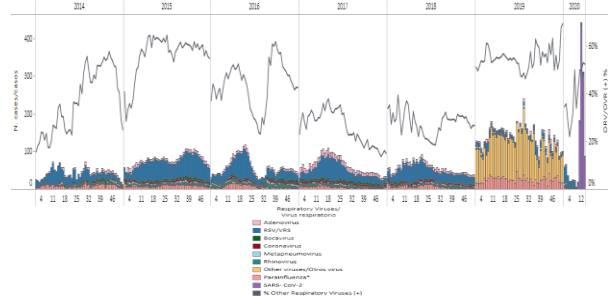
Graph 2. Colombia: Influenza, RSV and SARS-CoV-2 distribution, EW 14, 2015-20
Distribución de virus influenza, VRS y SAR-CoV-2, SE 14, 2015-20



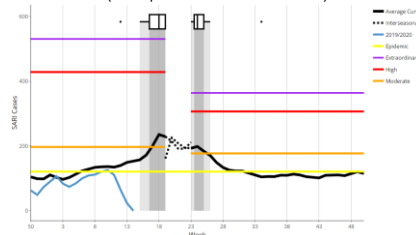
Graph 3. Colombia: Composite ARI cases x Percent positivity for influenza, EW 14, 2020 (compared to 2012-19)
Producto de casos de IRA x Porcentaje de positividad de influenza, SE 14 de 2020 (comparado con 2012-19)



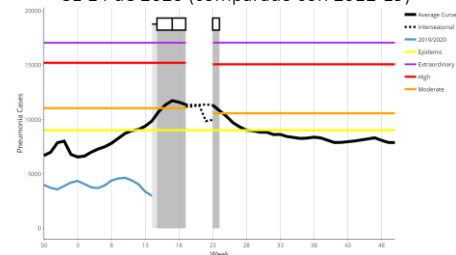
Graph 4. Colombia: RSV and other respiratory viruses distribution, EW 14, 2014-20
Distribución del VRS y otros virus respiratorios, SE 14, 2014-20



Graph 5. Colombia: Number of SARI cases, EW 14, 2020 (compared to 2013-19)
Número de casos de IRAG, SE 14 de 2020 (comparado con 2013-19)



Graph 6. Colombia: Number of pneumonia-related hospitalizations, EW 14, 2020 (compared to 2012-19)
Número de hospitalizaciones asociadas a neumonía, SE 14 de 2020 (comparado con 2012-19)

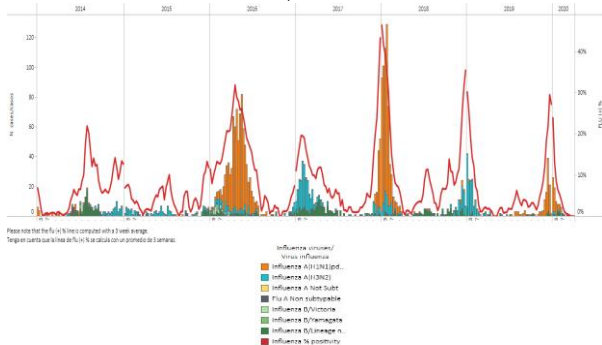


*To view more epi data, view [here](#). / Para ver más datos epi, vea [aquí](#).

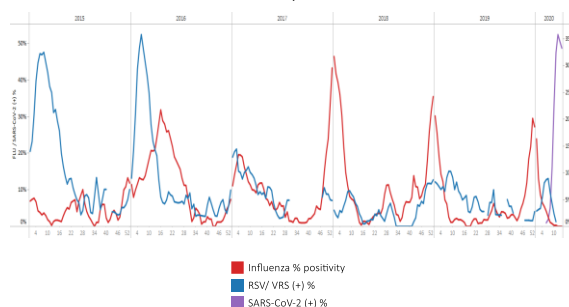
- Since EW 10 no detections of influenza or other respiratory virus has been reported. Influenza A(H3N2) virus was reported in previous months. SARS-CoV-2 detections decreased in comparison to the previous week (Graphs 1, 2, 3, and 4). In EW 14, 1,427 samples were analyzed to detect SARS-CoV-2, 693 (48.6%) tested positive for this virus. During EW 12, the number of SARI cases decreased to interseasonal levels (Graph 4). / Desde la SE 10 no se han reportado detecciones de influenza u otro virus respiratorio. El virus de la influenza A(H3N2) se informó en meses anteriores. Las detecciones de SARS-CoV-2 disminuyeron en comparación con la semana anterior (Gráficos 1, 2, 3 y 4). En la SE 14, se analizaron 1.427 muestras para detectar SARS-CoV-2, 693 (48,6%) dieron positivo para este virus. Durante la SE 12, el número de casos de IRAG disminuyó a niveles interestacionales (Gráfico 4).

South America/ América del Sur- Andean Countries/ Países Andinos

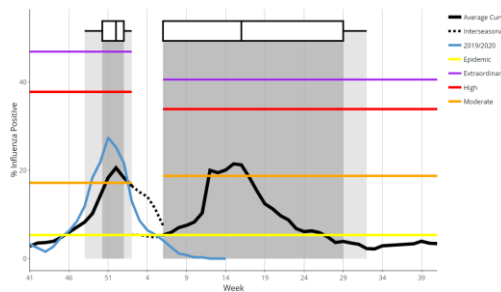
Graph 1. Ecuador: Influenza virus distribution from SARI sentinel cases, EW 14, 2015-20
Distribución de virus influenza de casos de IRAG centinela SE 14, 2015-20



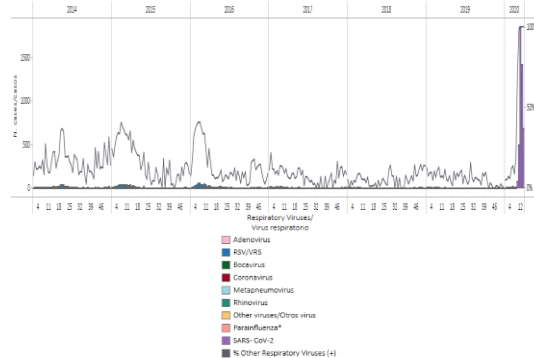
Graph 2. Ecuador: Influenza and RSV distribution from SARI sentinel cases, EW 14, 2015-20
Distribución de los virus influenza y VRS de casos de IRAG centinela, SE 14, 2015-20



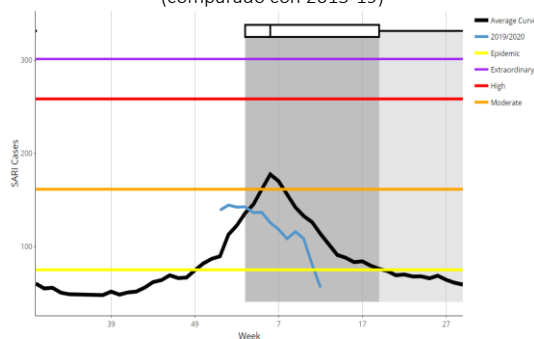
Graph 3. Ecuador: Percent positivity for influenza, EW 14, 2020
(in comparison to 2011-19)
Porcentaje de positividad de influenza, SE 14 de 2020
(comparado con 2011-19)



Graph 4. Ecuador: RSV and other respiratory viruses distribution, EW 14, 2015-20
Distribución del VRS y otros virus respiratorios, SE 14, 2015-20



Graph 5. Ecuador: Number of SARI cases, EW 12, 2020
(compared to 2013-19)
Número de casos de IRAG, SE 12 de 2020
(comparado con 2013-19)



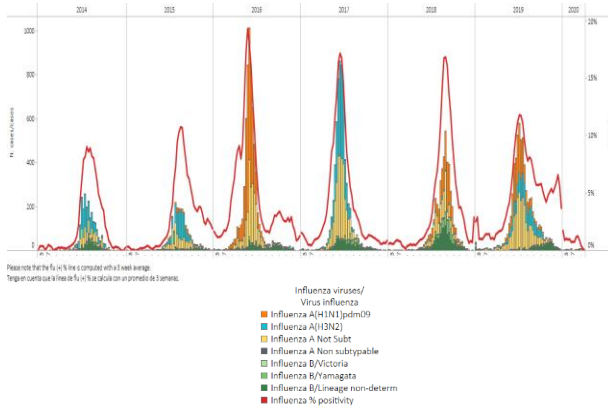
*To view more epi data, view [here](#). / Para ver más datos epi, vea [aquí](#).

South America / América del Sur – South Cone and Brazil / Cono sur y Brasil

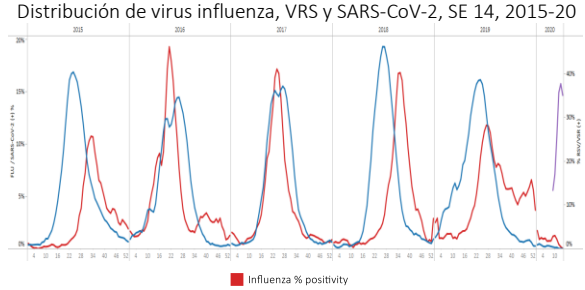
Argentina

- During 2020, few influenza detections have been reported, with influenza A(H1N1)pdm09 viruses circulating in the previous week; influenza activity continues to decrease and was below the average curve. No influenza or RSV detections were reported in EW 14 (Graphs 1, 2, and 3). SARS-CoV-2 detections decreased as compared to the previous week (Graph 4). Among 4,806 samples analyzed for SARS-CoV-2, 535 (11.1%) tested positive. The provinces with the highest percentage of samples testing positive for SARS-CoV-2 were: Ciudad Autónoma de Buenos Aires, Buenos Aires, Santa Fe, Córdoba, and Neuquén. The numbers of severe acute respiratory infection (SARI), pneumonia cases, and ILI patients, continue to decrease and were at interseasonal levels (Graphs 4, 6, and 7). / En el 2020, se han reportado pocas detecciones de influenza, con los virus influenza A(H1N1)pdm09 circulando en la semana anterior; la actividad de la influenza continúa disminuyendo y estuvo por debajo de la curva promedio. No se informaron detecciones de influenza o VRS en la SE 14 (Gráficos 1, 2 y 3). Las detecciones de SARS-CoV-2 disminuyeron en comparación con la semana anterior (Gráfico 4). Entre 4.806 muestras analizadas para SARS-CoV-2, 535 (11,1%) dieron positivo. Las provincias con el mayor porcentaje de muestras que dieron positivo para SARS-CoV-2 fueron: Ciudad Autónoma de Buenos Aires, Buenos Aires, Santa Fe, Córdoba y Neuquén. El número de infecciones respiratorias agudas graves (IRAG), casos de neumonía y pacientes con ETI, continúa disminuyendo y se ubicaron en niveles interestacionales (Gráficos 4, 6 y 7).

Graph 1. Argentina - Influenza virus distribution, EW 14, 2015-20
Distribución de virus influenza, SE 14, 2015-20

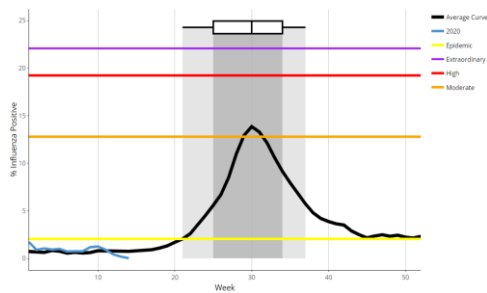


Graph 2. Argentina – Influenza, RSV, and SARS-CoV-2 distribution, EW 14, 2015-20
Distribución de virus influenza, VRS y SARS-CoV-2, SE 14, 2015-20

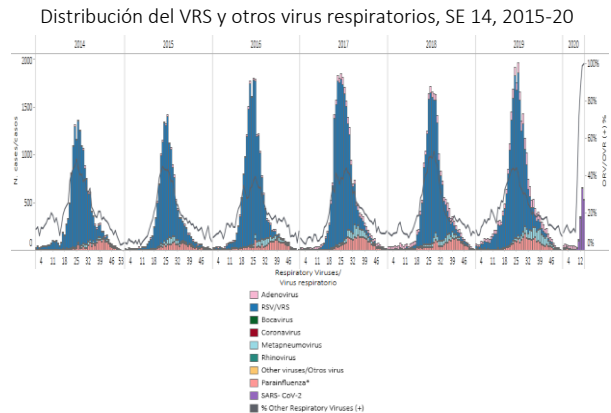


Graph 3. Argentina: Percent positivity for influenza, EW 14, 2020
(compared to 2010-19)

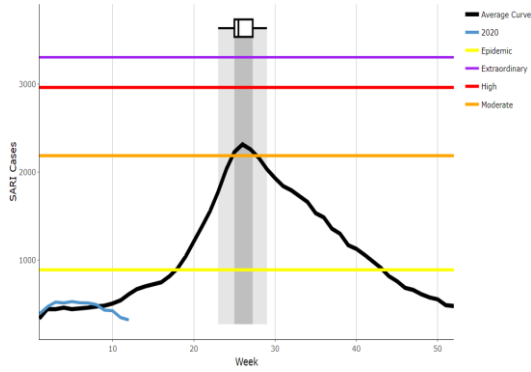
Porcentaje de positividad de influenza, SE 14 de 2020
(comparado con 2010-19)



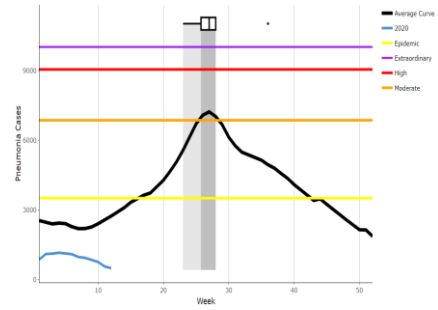
Graph 4. Argentina: RSV and other respiratory viruses distribution, EW 14, 2015-20
Distribución del VRS y otros virus respiratorios, SE 14, 2015-20



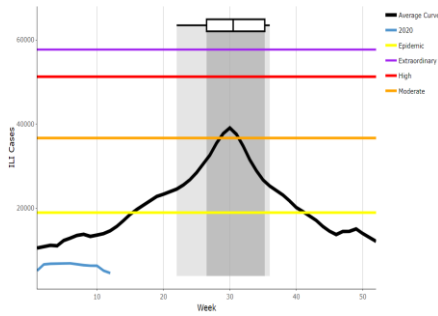
Graph 5. Argentina: Number of SARI cases, EW 12, 2015-20
 Número de casos IRAG, SE 12, 2015-20



Graph 6. Argentina: Pneumonia cases in children under 5 years, EW 12, 2020 (compared to 2016-19)
 Casos de neumonía en niños menores de 5 años, SE 12 de 2020 (comrado con 2016-19)



Graph 7. Argentina: Number of ILI cases, EW 12, 2020, (compared to 2016-19)
 Número de casos ETI, SE 12 de 2020 (comparado con 2016-19)



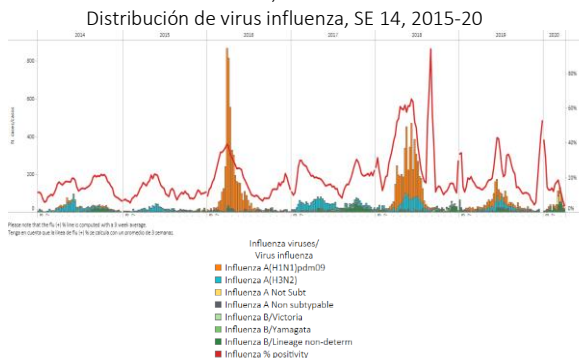
*To view more epi data, view [here](#). / Para ver más datos epi, vea [aquí](#).

South America/América del Sur- South Cone and Brazil/ Cono Sur y Brasil

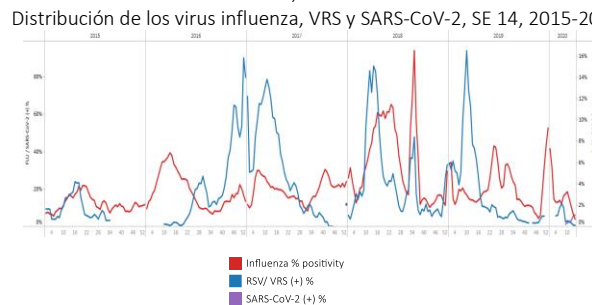
Brazil

- During EW 14, influenza detections decreased in comparison to the previous week, influenza B virus predominated with co-circulation of influenza A viruses; among influenza A viruses subtyped, influenza A(H1N1)pdm09 predominated; influenza percent positivity decreased in comparison to previous weeks and was at a low level of activity (Graphs 1 and 3). In EW 14, low RSV activity was recorded with no detections reported; SARS-CoV-2 detections increased as compared to the previous week (Graphs 2 and 4). Among 355 samples analyzed for SARS-CoV-2, 101 (28.52%) tested positive. The states with positive samples of SARS-CoV-2 were Amapá and Maranhão. / En la SE 14, las detecciones de influenza disminuyeron en comparación con la semana anterior, el virus de influenza B predominó con la circulación concurrente de los virus influenza A; entre los virus de la influenza A, a los cuales se les determinó el subtipo, predominó influenza A(H1N1)pdm09; el porcentaje de positividad de la influenza disminuyó en comparación con las semanas anteriores y tuvo un bajo nivel de actividad (Gráficos 1 y 3). En la SE 14, se registró una baja actividad de VRS sin que se informaran detecciones; las detecciones de SARS-CoV-2 aumentaron en comparación con la semana anterior (Gráficos 2 y 4). Entre 355 muestras analizadas para SARS-CoV-2, 101 (28,52%) dieron positivo. Los estados con muestras positivas de SARS-CoV-2 fueron Amapá y Maranhão.

Graph 1. Brazil: All NICs. Influenza virus distribution, EW 14, 2015-20

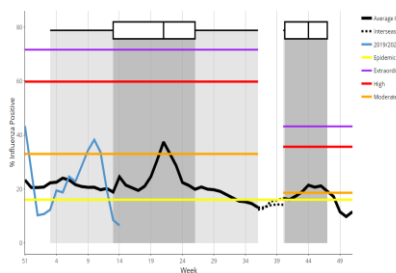


Graph 2. Brazil: All NICs. Influenza, RSV, and SARS-CoV-2, distribution, EW 14, 2015-20



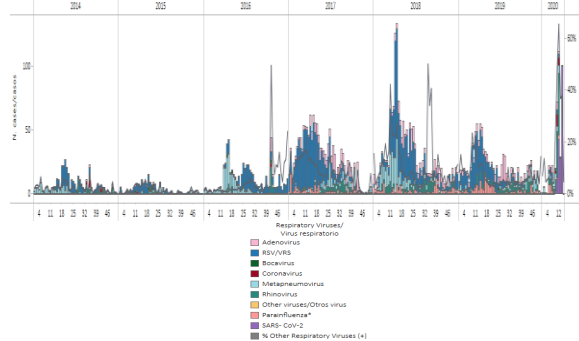
Graph 3. Brazil: Percent positivity for influenza, EW 14, 2020 (compared to 2011-18)

Porcentaje de positividad de influenza, SE 14 de 2020 (comparado con 2011-18)



Graph 4. Brazil: All NICs. RSV and other respiratory viruses distribution, EW 14, 2014-20

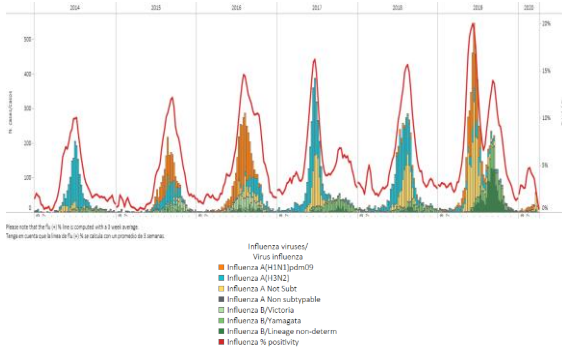
Distribución del VRS y otros virus respiratorios SE 14, 2014-20



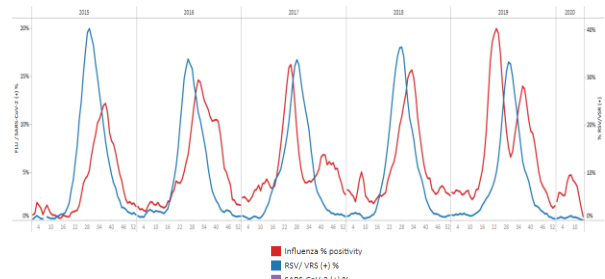
*To view more epi data, view [here](#). / Para ver más datos epi, vea [aquí](#)

- During EW 14, few influenza detections were reported with influenza B viruses circulating. Influenza activity decreased and was below the average epidemic curve (Graphs 1 and 3). RSV activity was low with few detections reported (Graph 2); adenovirus, parainfluenza, and metapneumovirus co-circulated (Graph 4). In EW 14, ILI visits remained at baseline levels (Graph 5). After a sharp increase in previous weeks, SARI cases decreased and continued above the average epidemic curve; SARI activity was higher than all recent seasons at this time of year (Graph 6). / En la SE 14, se notificaron pocas detecciones de influenza con la circulación de influenza B. La actividad de la influenza disminuyó y estuvo por debajo de la curva epidémica promedio (Gráficos 1 y 3). La actividad del VRS fue baja con pocas detecciones reportadas esta semana (Gráfico 2) y la circulación concurrente de adenovirus, parainfluenza y metapneumovirus (Gráfico 4). En la SE 14, las visitas por ETI se mantuvieron en los niveles basales (Gráfico 5). Después de un fuerte aumento en las semanas anteriores, los casos de IRAG disminuyeron y continuaron por encima de la curva epidémica promedio, la actividad de la IRAG fue más alta que todas las temporadas recientes en esta época del año (Gráfico 6).

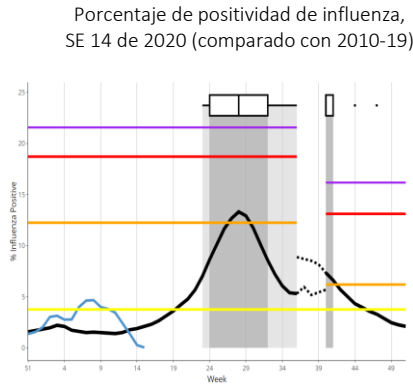
Graph 1. Chile: Influenza virus distribution, EW 14, 2015-20
Distribución de virus de influenza, SE 14, 2015-20



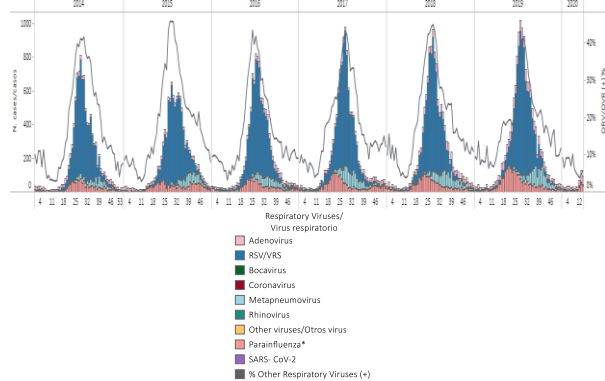
Graph 2. Chile: Influenza, RSV, and SARS-CoV-2, distribution, EW 14, 2015-20
Distribución de los virus influenza, VRS y SARS-CoV-2, SE 14, 2015-20



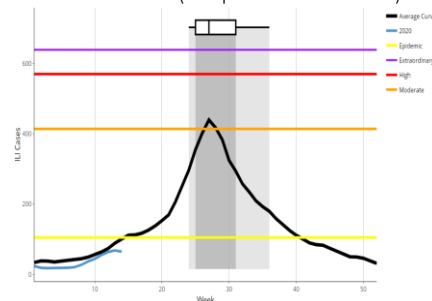
Graph 3. Chile: Percent positivity for influenza, EW 14, 2020
(compared to 2010-19)
Porcentaje de positividad de influenza, SE 14 de 2020 (comparado con 2010-19)



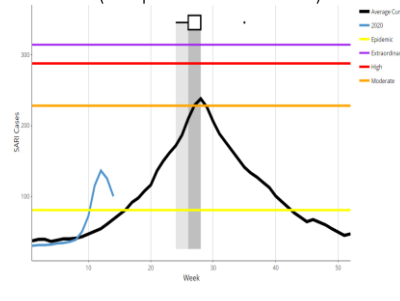
Graph 4. Chile: RSV and other respiratory viruses distribution, EW 14, 2014-20
Distribución del VRS y otros virus respiratorios SE 14, 2014-20



Graph 5. Chile: Number of ILI visits in hospital ER, EW 14, 2020 (compared to 2015-19)
Número de consultas por ETI en urgencias hospitalarias, SE 14 de 2020 (comparado con 2015-19)



Graph 6. Chile: Number of SARI cases, EW 14, 2020 (compared to 2015-19)
Número de casos de IRAG, SE 14 de 2020 (comparado con 2015-19)

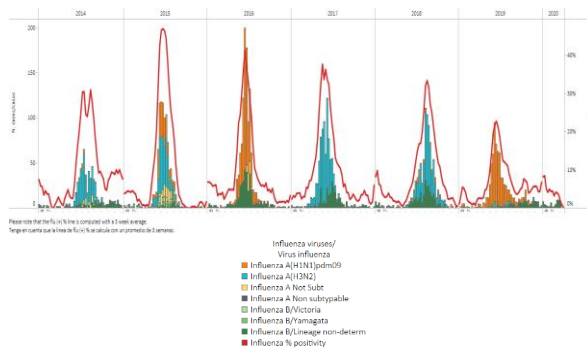


*To view more epi data, view [here](#). / Para ver más datos epi, vea [aquí](#).

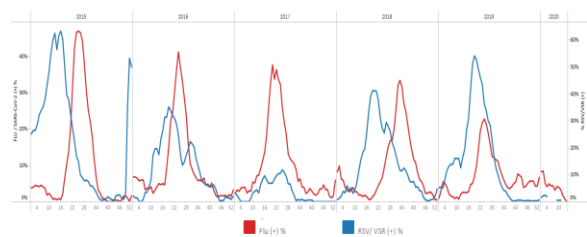
Paraguay

- During EW 14, 2020, no influenza detections were reported with influenza B virus circulating in previous weeks. After a slight increase during the first weeks of the year, influenza activity decreased to baseline levels (Graphs 1 and 3). No RSV detections were reported in EW 14 (Graphs 2 and 4) with coronavirus predominance among other respiratory viruses. At the national level, the number of SARI cases slightly decreased and was below the average epidemic curve (Graph 5). Influenza sentinel sites reported 8% (104/1,260) of SARI cases among all hospitalizations, this proportion was above the alert threshold as compared to previous seasons for the same period. ILI cases/1000 outpatients continued to increase and were at the average for this time of year (Graph 6). / En la SE 14 de 2020, no se notificaron detecciones de influenza con el virus de influenza B circulando en semanas anteriores. Después de un ligero aumento durante las primeras semanas del año, la actividad de la influenza disminuyó a los niveles basales (Gráficos 1 y 3). No se informaron detecciones de VRS en la SE 14 (Gráficos 2 y 4) con predominio de coronavirus entre otros virus respiratorios. A nivel nacional, el número de casos de IRAG disminuyó ligeramente y estuvo por debajo de la curva epidémica promedio (Gráfico 5). Los sitios centinela de influenza informaron un 8% (104 / 1.260) de los casos de IRAG entre todas las hospitalizaciones, esta proporción estuvo por encima del umbral de alerta en comparación con temporadas anteriores para el mismo período. Los casos de ETI / 1000 pacientes ambulatorios continuaron aumentando y se ubicaron en el promedio para esta época del año (Gráfico 6).

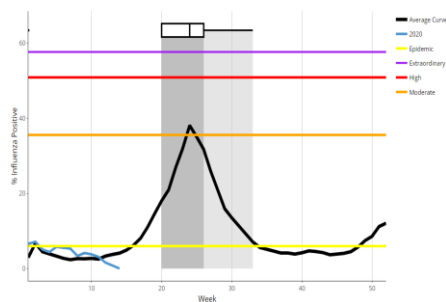
Graph 1. Paraguay: Influenza virus distribution EW 14, 2015-20
Distribución de virus de influenza, SE 14, 2015-20



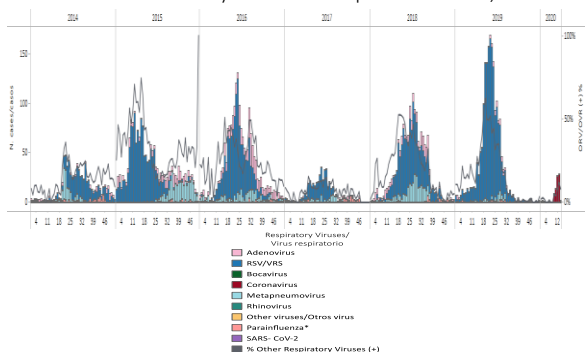
Graph 2. Paraguay: Influenza and RSV distribution, EW 14, 2015-20
Distribución de los virus influenza y VRS, SE 14, 2015-20



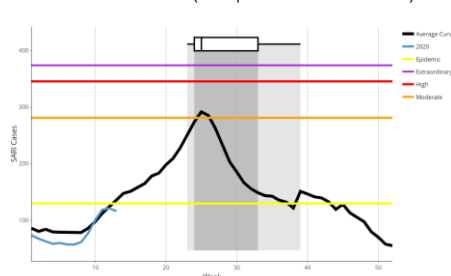
Graph 3. Paraguay: Baseline for the percent positivity for influenza, EW 14, 2020 (in comparison to 2011-19)
Línea basal para el porcentaje de positividad de influenza, SE 14 de 2020 (comparado con 2011-19)



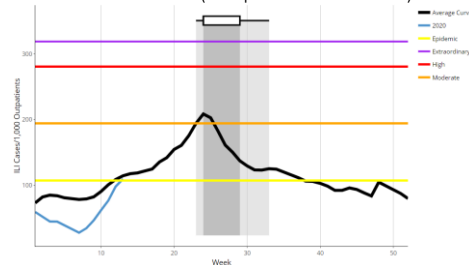
Graph 4. Paraguay: RSV and other respiratory viruses distribution, EW 14, 2014-20
Distribución del VRS y otros virus respiratorios SE 14, 2014-20



Graph 5. Paraguay: Number of SARI cases EW 14, 2020 (compared to 2015-19)
Número de casos de IRAG SE 14 de 2020 (comparado con 2015-19)



Graph 6. Paraguay: ILI cases/1000 outpatients, EW 14, 2020 (compared to 2015-19)
Casos de ETI por cada 1000 consultas ambulatorias, SE 14 de 2020 (comprado con 2015-19)



*To view more epi data, view [here](#). / Para ver más datos epi, vea [aquí](#).

ACRONYMS

ARI	Acute Respiratory Infection
CARPHA	Caribbean Public Health Agency
CENETROP	Centro de Enfermedades Tropicales (Santa Cruz, Bolivia)
EW	Epidemiological Week
ILI	Influenza-like illness
INLASA	Instituto Nacional de Laboratorios de Salud (La Paz, Bolivia)
INS	Instituto Nacional de Salud
ORV	Other respiratory viruses
SARI	Severe acute respiratory infection
SEDES	Servicio Departamental de Salud (Bolivia)
ICU	Intensive Care Unit
RSV	Respiratory Syncytial Virus

ACRÓNIMOS

CARPHA	Agencia de Salud Pública del Caribe
CENETROP	Centro de Enfermedades Tropicales (Santa Cruz, Bolivia)
ETI	Enfermedad Tipo influenza
INLASA	Instituto Nacional de Laboratorios de Salud (La Paz, Bolivia)
INS	Instituto Nacional de Salud
IRA	Infección Respiratoria Aguda
IRAG	Infección Respiratoria Aguda grave
OVR	Otros virus respiratorios
SE	Semana epidemiológica
SEDES	Servicio Departamental de Salud (Bolivia)
UCI	Unidad de Cuidados Intensivos
VRS	Virus Respiratorio Sincitial